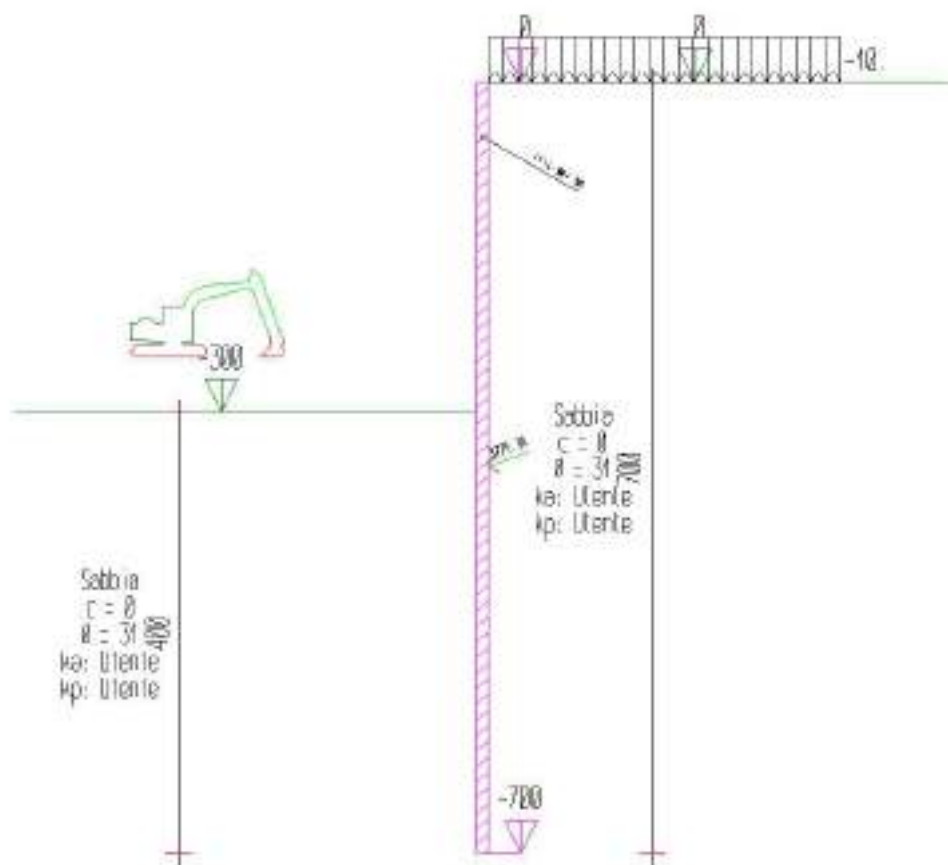


Allegato 2 – Verifiche paratia e tiranti – Tratto B

Relazione di Calcolo

Descrizione: Paratia flessibile



Modello Strutturale	3
Metodo di calcolo	3
Materiali da costruzione impiegati.....	4
Elementi strutturali.....	4
Strati	4
Spinta a riposo	4
Pressione limite attiva e passiva	5
Deformabilità.....	6
Paratia.....	6
Sezioni.....	7
Tiranti	7
Carichi nastriformi distribuiti sul terreno	8
Peso proprio.....	8
Sisma.....	8
Step di progetto	9
Tabella riassuntiva	11
Modello FEM	11
Nodi	11
Aste	14
Risultati	16
Singoli Step	16
Step 1.....	16
Step 2	23
Inviluppo delle sollecitazioni	30
Verifiche	33
Verifiche tensionali	33
Step 1.....	33
Step 2	38
Storia di carico dei tiranti.....	42
Verifica dell'ancoraggio dei tiranti	43
Verifica delle travi di collegamento	45
Calcolo dei sedimenti a monte della paratia	46

Modello Strutturale

Segue la descrizione dei materiali da costruzione impiegati nella definizione del modello di calcolo. Oltre a questi vengono elencati gli elementi strutturali elementari che formano il modello.

Metodo di calcolo

Il programma "IS Paratie 11" utilizza il metodo di calcolo degli elementi finiti con cui schematizza sia la paratia che il terreno. La paratia è schematizzata con elementi trave a sei gradi di libertà (due traslazioni ed una rotazione per nodo) mentre il terreno è schematizzato con una serie di molle distibuite lungo l'altezza della paratia. Il procedimento iterativo di risoluzione del modello considera il comportamento non lineare del terreno (non linearità meccanica), mentre agli altri elementi assegna un comportamento elastico lineare. I valori numerici utilizzati per il calcolo sono introdotti esplicitamente dall'utente attraverso l'interfaccia grafica del programma, e vengono utilizzati direttamente: in particolare **il programma non adotta alcun coefficiente di sicurezza隐式**.

Il programma "IS Paratie 11" verifica i seguenti meccanismi di stato limite ultimo: stabilità dell'opera (rototraslazione), resistenza degli elementi strutturali che compongono la paratia, resistenza strutturale degli eventuali ancoraggi (tiranti), verifica a sfilamento degli eventuali ancoraggi, verifica della resistenza strutturale delle eventuali travi di collegamento degli ancoraggi, verifica della resistenza strutturale di eventuali puntoni. Tutte le verifiche vengono condotte con riferimento alle combinazioni di carico indicate dall'utente, sia statiche che sismiche.

Le deformazioni e le sollecitazioni cui è soggetta l'opera vengono stabilite utilizzando il metodo FEM con un procedimento iterativo che permette di considerare il comportamento non lineare del terreno. Tutti gli elementi strutturali (paratia, eventuali tiranti, eventuali puntoni) ed il terreno stesso sono schematizzati con elementi finiti e partecipano al calcolo con le proprie caratteristiche di rigidezza e resistenza. Qualora il procedimento iterativo di soluzione del sistema di equazioni non lineari non trovi l'equilibrio dell'opera o superi lo spostamento massimo (valore parametrizzato e modificabile dall'utente), il calcolo si interrompe, e viene riportato un messaggio esplicito a video e nell'output di stampa. L'esistenza dei risultati è di per se garanzia che il programma è stato in grado di calcolare una configurazione equilibrata e congruente, cioè una situazione di equilibrio tra le azioni applicate all'opera e la resistenza da questa esplicata, stanti le caratteristiche meccaniche e geometriche della paratia e del terreno ed i coefficienti di sicurezza applicati. Alla situazione di equilibrio determinata, corrispondono spostamenti e sollecitazioni lungo la paratia e gli altri elementi strutturali, che vengono verificati in successione. Tutte queste ulteriori verifiche sono riportate a schermo e nell'output di stampa e devono essere superate per garantire la sicurezza dell'opera.

La sicurezza dell'opera è valutata in relazione al seguente approccio: **NTC 2018**.

Metodo di verifica degli elementi strutturali.

Le verifiche tensionali degli elementi strutturali vengono eseguite col metodo degli stati limite.

Coefficienti sulle azioni.

L'intensità delle azioni, o dell'effetto delle azioni, è modificata applicando i seguenti coefficienti di sicurezza parziali ai carichi: $\gamma_{G1} = 1.3$, $\gamma_{G2} = 1.5$, $\gamma_{Qi} = 1.5$.

Coefficienti per il calcolo delle spinte del terreno.

Si applicano coefficienti di sicurezza parziali alle caratteristiche meccaniche del terreno: $\gamma_\phi = 1$, $\gamma_c = 1$, $\gamma_{su} = 1$, $\gamma_y = 1$.

Coefficienti per la resistenza a sfilamento dei tiranti.

Alla resistenza a sfilamento dei tiranti, ottenuta con un metodo analitico, si applicano i coefficienti di sicurezza di seguito elencati. Tirante attivo, permanente: $\gamma_R = 2.16$. Tirante attivo, temporaneo: $\gamma_R = 1.98$. Tirante passivo, permanente: $\gamma_R = 2.16$. Tirante passivo, temporaneo: $\gamma_R = 1.98$.

Unità di misura e convenzioni.

Ove non altrimenti specificato si utilizzano le seguenti unità di misura: daN; cm; cm²; daN/cm; daN cm; daN/cm².

Per quanto riguarda lo Step di inserimento di un elemento, si intende che quest'ultimo è presente nel modello dall'inizio dello Step. La stessa regola vale per lo Step di rimozione, cioè si intende che un elemento viene rimosso all'inizio dello Step specificato. Il sistema di riferimento utilizzato vede l'asse delle z verticale, orientato verso l'alto, l'asse delle x parallelo al piano di lavoro ed orientato verso destra, e l'asse delle y parallelo allo sviluppo longitudinale della paratia. In quest'ultima direzione viene convenzionalmente considerata una sezione di paratia larga 100 cm.

Materiali da costruzione impiegati

Cemento Armato: Conglomerato Cementizio Rck 300, Barre d'armatura B450C (cls: $f_{cd} = 141.1$; barre: $f_{yd} = 3813.04$).

Profilati in acciaio: Acciaio Fe510 ($f_d = 3550$).

Elementi strutturali

La struttura analizzata è formata dai seguenti elementi.

Strati

Segue la descrizione della stratigrafia del terreno utilizzata nel modello.

	STR_1	STR_2
Descrizione	Sabbia	Sabbia
Quota iniziale [cm]	0	-300
Grado di preconsolidazione (OCR)	1	1
Angolo d'attrito (ϕ') [°]	31	31
Coesione efficace (c') [daN/cm ²]	0	0
Resistenza non drenata (s_u) [daN/cm ²]	0.8	0.8
Permeabilità (m) [cm/s]	0.001	0.001
Peso di unità di volume fuori falda (γ_d) [daN/cm ³]	0.00186	0.00186
Peso di unità di volume sotto falda (γ_t) [daN/cm ³]	0.00215	0.00215

Spinta a riposo

STR_1

La spinta a riposo viene valutata in termini di tensioni efficaci, con l'espressione seguente:

$$\sigma'_{ho} = k_{0,oc}\sigma'_{vo}, \text{ dove } k_{0,oc} = k_{0,nc} OCR^\alpha.$$

Metodo *Utente* per il calcolo del coefficiente di spinta normalconsolidato. Il valore di $k_{0,nc}$ è indicato direttamente dall'utente: $k_{0,nc} = 0.44$.

Metodo *Alpan* per il calcolo del coefficiente di spinta sovraconsolidato. Il valore di α è assunto pari a 0.5.

I valori dei coefficienti di spinta a riposo utilizzati nel calcolo sono i seguenti:

$$k_{0,nc} = 0.44$$

$$k_{0,oc} = 0.44$$

STR_2

La spinta a riposo viene valutata in termini di tensioni efficaci, con l'espressione seguente:

$$\sigma'_{ho} = k_{0,oc}\sigma'_{vo}, \text{ dove } k_{0,oc} = k_{0,nc} OCR^\alpha.$$

Metodo *Utente* per il calcolo del coefficiente di spinta normalconsolidato. Il valore di $k_{0,nc}$ è indicato direttamente dall'utente: $k_{0,nc} = 0.44$.

Metodo *Alpan* per il calcolo del coefficiente di spinta sovraconsolidato. Il valore di α è assunto pari a 0.5.

I valori dei coefficienti di spinta a riposo utilizzati nel calcolo sono i seguenti:

$$k_{0,nc} = 0.44$$

$$k_{0,oc} = 0.44$$

Pressione limite attiva e passiva

STR_1

Metodo *Utente* per il calcolo del limite di spinta attiva.

Il limite di spinta attiva viene valutato in termini di tensioni efficaci, con l'espressione seguente:

$$\sigma'_{ha} = k_{a,h}\sigma'_{v} - c_a$$

Il valori di $k_{a,h}$ e c_a sono indicati direttamente dall'utente e vengono considerati valori di calcolo (non si applicano coefficienti di sicurezza):

$$k_{a,h} = 0.26$$

$$c_a = 0$$

Metodo *Utente* per il calcolo del limite di spinta passiva.

Il limite di spinta passiva viene valutato in termini di tensioni efficaci, con l'espressione seguente:

$$\sigma'_{hp} = k_{p,h}\sigma'_{v} + c_p$$

Il valori di $k_{p,h}$ e c_p sono indicati direttamente dall'utente e vengono considerati valori di calcolo (non si applicano coefficienti di sicurezza):

$$k_{p,h} = 5.2$$

$$c_p = 0$$

STR_2

Metodo *Utente* per il calcolo del limite di spinta attiva.

Il limite di spinta attiva viene valutato in termini di tensioni efficaci, con l'espressione seguente:

$$\sigma'_{ha} = k_{a,h}\sigma'_v - c_a$$

Il valori di $k_{a,h}$ e c_a sono indicati direttamente dall'utente e vengono considerati valori di calcolo (non si applicano coefficienti di sicurezza):

$$k_{a,h} = 0.26$$

$$c_a = 0$$

Metodo *Utente* per il calcolo del limite di spinta passiva.

Il limite di spinta passiva viene valutato in termini di tensioni efficaci, con l'espressione seguente:

$$\sigma'_{hp} = k_{p,h}\sigma'_v + c_p$$

Il valori di $k_{p,h}$ e c_p sono indicati direttamente dall'utente e vengono considerati valori di calcolo (non si applicano coefficienti di sicurezza):

$$k_{p,h} = 5.2$$

$$c_p = 0$$

Deformabilità

STR_1

Metodo *Utente* per il calcolo del modulo di reazione del terreno.

Il modulo di reazione viene valutato secondo l'espressione seguente:

$$k_s = A_s + B_s z$$

I valori di A_s e di B_s sono definiti direttamente dall'utente.

$$A_s = 5, B_s = 0$$

Il rapporto fra il modulo in ricarico/scarico rispetto a quello in compressione vergine è altresì definito dall'utente e vale 1.

STR_2

Metodo *Utente* per il calcolo del modulo di reazione del terreno.

Il modulo di reazione viene valutato secondo l'espressione seguente:

$$k_s = A_s + B_s z$$

I valori di A_s e di B_s sono definiti direttamente dall'utente.

$$A_s = 5, B_s = 0$$

Il rapporto fra il modulo in ricarico/scarico rispetto a quello in compressione vergine è altresì definito dall'utente e vale 1.

Paratia

Il modello comprende una sola paratia (PAR_1), alta 700 cm.

La paratia PAR_1 utilizza la sezione trasversale SEZ_2. Per la verifica delle tensioni si utilizza la sezione 1.

Sezioni

Segue la descrizione delle sezioni trasversali utilizzate dagli elementi del modello.

	SEZ_1	SEZ_2
Tipo	TUBO CIRCOLARE	RETTANGOLARE
Descrizione	Micropalo 114.3	Omogeneizzata c.a.
Materiale	Acciaio	C.A.
Modulo di Young [daN/cm ²]	2060000.	312202.
Numero di sezioni per metro	2.22	2.22
Area [cm ²]	32.69	962.
Momento d'inerzia Z [cm ⁴]	446.	7419.
Momento d'inerzia Y [cm ⁴]	446.	801667.
Ferri superiori	-	nessun ferro
Ferri inferiori	-	nessun ferro

Tiranti

Segue la descrizione dei tiranti impiegati nel modello.

	TIR_1_1
Quota di applicazione [cm]	-50
Angolo di inclinazione [°]	30
Lunghezza libera [cm]	300
Lunghezza sigillatura [cm]	700
Diametro nominale dei trefoli [cm]	1.33
Numero di trefoli	2
Area resistente [cm ²]	2.78
Modulo elastico [daN/cm ²]	1950000
Tensione massima [daN/cm ²]	16700
Tensione ammissibile [daN/cm ²]	16700
Tensione iniziale [daN/cm ²]	1500
Numero al metro	0.317
Step di attivazione	2

Step di rimozione	-
-------------------	---

Segue la tabella di tesatura dei tiranti impiegati nel modello.

TIR_1_1	
Step di inserimento	2
Tiro iniziale [daN]	4167.87
Tiro massimo ammesso [daN]	46402.31

Carichi nastriformi distribuiti sul terreno

Segue la descrizione dei carichi nastriformi distribuiti sul terreno nella zona a monte. I carichi sono dati in daN/cm, per ogni metro di estensione longitudinale della paratia. Il valore dichiarato rappresenta quindi il carico distribuito su una striscia di 1x100 cm.

CUD_1_1	
Quota di applicazione [cm]	0
Distanza dalla paratia [cm]	0
Larghezza [cm]	320
Carico distribuito [daN/cm]	-10
Carico distribuito [daN/cm ²]	-0.1
Tipologia	variabile
Step di attivazione	1
Step di rimozione	-

Peso proprio

Alla paratia PAR_1, viene automaticamente applicato il peso proprio come carico distribuito in direzione verticale, con intensità definita dalla propria sezione trasversale.

Sisma

Metodo NTC 18 per il calcolo della forza sismica.

L'azione dovuta al sisma ed applicata alle paratie è calcolata secondo quanto stabilito dal D.M. 17/01/2018. L'azione del sisma è introdotta come carico distribuito. Il sisma è considerato agente sull'intera altezza della paratia. Segue un elenco dei parametri significativi adottati.

Parametro	Valore
Categoria topografica	T2
Categoria suolo	E

fattore di amp. max. F_o	2.6
accel. al sito a_g [m/s ²]	0.83
spostamento tollerabile u_s [cm]	1
coeff. α	1
coeff. β	0.7
accel. di picco a_{max} [m/s ²]	1.5936

Segue il valore della forza per ciascuno step di applicazione.

Step	Paratia PAR_1
STEP_2	h: -3528; v: -1332

Step di progetto

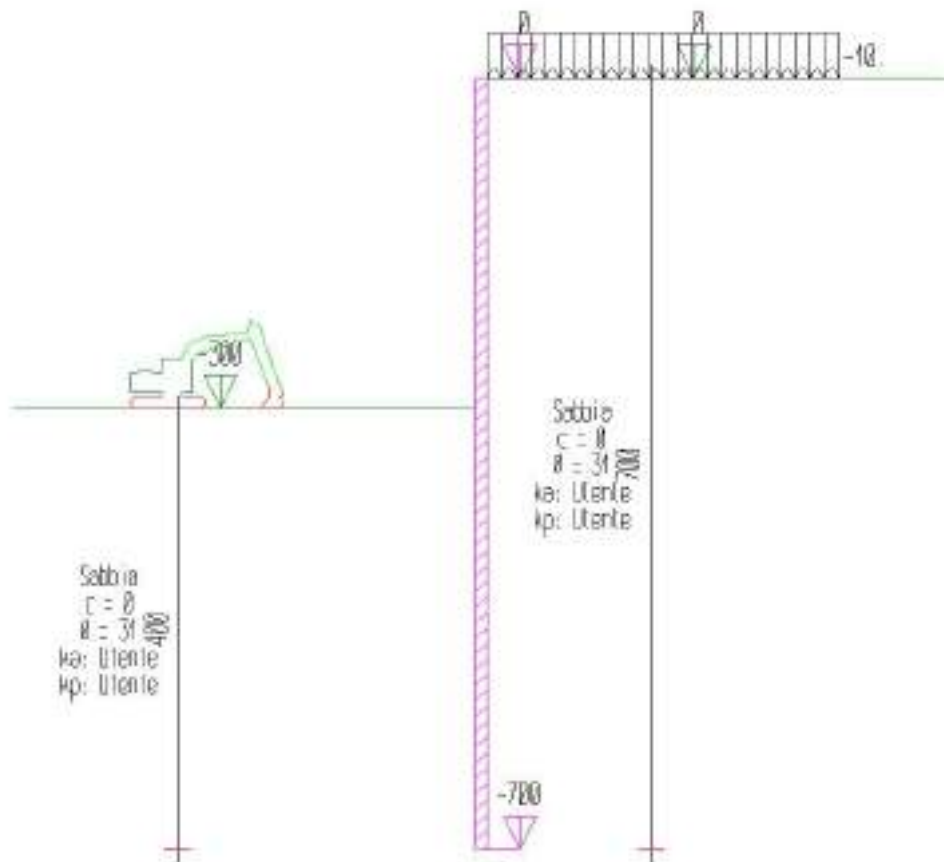
Segue la descrizione dei passi considerati nella definizione del modello per simulare le fasi realizzative dell'opera.

Step 1

In questo step vengono effettuate le seguenti modifiche al modello:

Inserimento carico nastriforme su terreno: CUD_1_1

Scavo portato a quota: -300



Step 2

In questo step vengono effettuate le seguenti modifiche al modello:

Inserimento tirante: TIR_1_1

Attivazione sollecitazione sismica.

Scavo portato a quota: -250

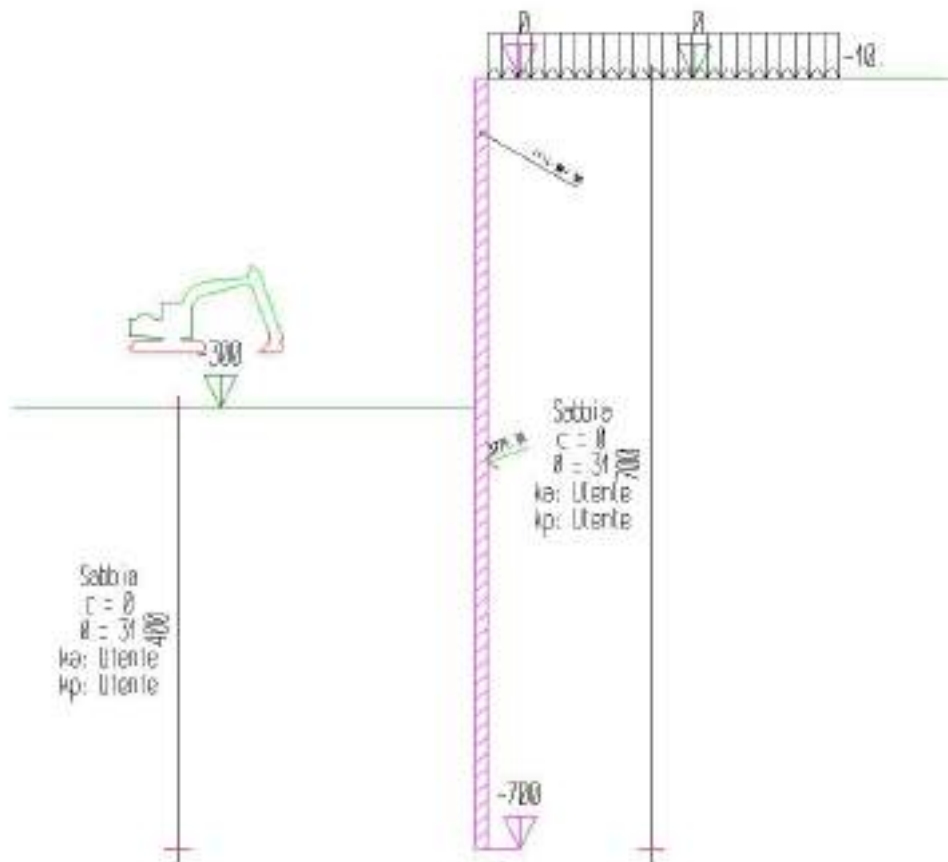


Tabella riassuntiva

La seguente tabella riassume le caratteristiche del modello strutturale nell'insieme degli step considerati.

Step	Quota scavo	Strati		Tiranti	Carichi terreno
1	-300	STR_2	STR_1		CUD_1_1
2	-250	STR_2	STR_1	TIR_1_1	CUD_1_1

Modello FEM

Segue la descrizione dello schema ad elementi finiti utilizzato per la risoluzione del modello strutturale e la valutazione di spostamenti e sollecitazioni, aggiornato all'ultimo step di calcolo effettuato.

Nodi

Indice Coord. X Coord. Z

- | | | |
|----|----|--------|
| 1. | 0. | 0. |
| 2. | 0. | -8.33 |
| 3. | 0. | -16.67 |
| 4. | 0. | -25. |
| 5. | 0. | -33.33 |

6.	0.	-41.67
7.	0.	-50.
8.	0.	-59.52
9.	0.	-69.05
10.	0.	-78.57
11.	0.	-88.1
12.	0.	-97.62
13.	0.	-107.14
14.	0.	-116.67
15.	0.	-126.19
16.	0.	-135.71
17.	0.	-145.24
18.	0.	-154.76
19.	0.	-164.29
20.	0.	-173.81
21.	0.	-183.33
22.	0.	-192.86
23.	0.	-202.38
24.	0.	-211.9
25.	0.	-221.43
26.	0.	-230.95
27.	0.	-240.48
28.	0.	-250.
29.	0.	-258.33
30.	0.	-266.67
31.	0.	-275.
32.	0.	-283.33
33.	0.	-291.67
34.	0.	-300.
35.	0.	-309.52
36.	0.	-319.05
37.	0.	-328.57

38.	0.	-338.1
39.	0.	-347.62
40.	0.	-357.14
41.	0.	-366.67
42.	0.	-376.19
43.	0.	-385.71
44.	0.	-395.24
45.	0.	-404.76
46.	0.	-414.29
47.	0.	-423.81
48.	0.	-433.33
49.	0.	-442.86
50.	0.	-452.38
51.	0.	-461.9
52.	0.	-471.43
53.	0.	-480.95
54.	0.	-490.48
55.	0.	-500.
56.	0.	-509.52
57.	0.	-519.05
58.	0.	-528.57
59.	0.	-538.1
60.	0.	-547.62
61.	0.	-557.14
62.	0.	-566.67
63.	0.	-576.19
64.	0.	-585.71
65.	0.	-595.24
66.	0.	-604.76
67.	0.	-614.29
68.	0.	-623.81
69.	0.	-633.33

70. 0. -642.86
 71. 0. -652.38
 72. 0. -661.9
 73. 0. -671.43
 74. 0. -680.95
 75. 0. -690.48
 76. 0. -700.
 77. 441.67 -305.

Aste

Indice	Nodo iniz.	Nodo fin.	Lunghezza	Incognite
1.	2.	1.	8.33	4 5 6 1 2 3
2.	3.	2.	8.33	7 8 9 4 5 6
3.	4.	3.	8.33	10 11 12 7 8 9
4.	5.	4.	8.33	13 14 15 10 11 12
5.	6.	5.	8.33	16 17 18 13 14 15
6.	7.	6.	8.33	19 20 21 16 17 18
7.	8.	7.	9.52	22 23 24 19 20 21
8.	9.	8.	9.52	25 26 27 22 23 24
9.	10.	9.	9.52	28 29 30 25 26 27
10.	11.	10.	9.52	31 32 33 28 29 30
11.	12.	11.	9.52	34 35 36 31 32 33
12.	13.	12.	9.52	37 38 39 34 35 36
13.	14.	13.	9.52	40 41 42 37 38 39
14.	15.	14.	9.52	43 44 45 40 41 42
15.	16.	15.	9.52	46 47 48 43 44 45
16.	17.	16.	9.52	49 50 51 46 47 48
17.	18.	17.	9.52	52 53 54 49 50 51
18.	19.	18.	9.52	55 56 57 52 53 54
19.	20.	19.	9.52	58 59 60 55 56 57
20.	21.	20.	9.52	61 62 63 58 59 60
21.	22.	21.	9.52	64 65 66 61 62 63
22.	23.	22.	9.52	67 68 69 64 65 66

23.	24.	23.	9.52	70 71 72 67 68 69
24.	25.	24.	9.52	73 74 75 70 71 72
25.	26.	25.	9.52	76 77 78 73 74 75
26.	27.	26.	9.52	79 80 81 76 77 78
27.	28.	27.	9.52	82 83 84 79 80 81
28.	29.	28.	8.33	85 86 87 82 83 84
29.	30.	29.	8.33	88 89 90 85 86 87
30.	31.	30.	8.33	91 92 93 88 89 90
31.	32.	31.	8.33	94 95 96 91 92 93
32.	33.	32.	8.33	97 98 99 94 95 96
33.	34.	33.	8.33	100 101 102 97 98 99
34.	35.	34.	9.52	103 104 105 100 101 102
35.	36.	35.	9.52	106 107 108 103 104 105
36.	37.	36.	9.52	109 110 111 106 107 108
37.	38.	37.	9.52	112 113 114 109 110 111
38.	39.	38.	9.52	115 116 117 112 113 114
39.	40.	39.	9.52	118 119 120 115 116 117
40.	41.	40.	9.52	121 122 123 118 119 120
41.	42.	41.	9.52	124 125 126 121 122 123
42.	43.	42.	9.52	127 128 129 124 125 126
43.	44.	43.	9.52	130 131 132 127 128 129
44.	45.	44.	9.52	133 134 135 130 131 132
45.	46.	45.	9.52	136 137 138 133 134 135
46.	47.	46.	9.52	139 140 141 136 137 138
47.	48.	47.	9.52	142 143 144 139 140 141
48.	49.	48.	9.52	145 146 147 142 143 144
49.	50.	49.	9.52	148 149 150 145 146 147
50.	51.	50.	9.52	151 152 153 148 149 150
51.	52.	51.	9.52	154 155 156 151 152 153
52.	53.	52.	9.52	157 158 159 154 155 156
53.	54.	53.	9.52	160 161 162 157 158 159
54.	55.	54.	9.52	163 164 165 160 161 162

55.	56.	55.	9.52	166 167 168 163 164 165
56.	57.	56.	9.52	169 170 171 166 167 168
57.	58.	57.	9.52	172 173 174 169 170 171
58.	59.	58.	9.52	175 176 177 172 173 174
59.	60.	59.	9.52	178 179 180 175 176 177
60.	61.	60.	9.52	181 182 183 178 179 180
61.	62.	61.	9.52	184 185 186 181 182 183
62.	63.	62.	9.52	187 188 189 184 185 186
63.	64.	63.	9.52	190 191 192 187 188 189
64.	65.	64.	9.52	193 194 195 190 191 192
65.	66.	65.	9.52	196 197 198 193 194 195
66.	67.	66.	9.52	199 200 201 196 197 198
67.	68.	67.	9.52	202 203 204 199 200 201
68.	69.	68.	9.52	205 206 207 202 203 204
69.	70.	69.	9.52	208 209 210 205 206 207
70.	71.	70.	9.52	211 212 213 208 209 210
71.	72.	71.	9.52	214 215 216 211 212 213
72.	73.	72.	9.52	217 218 219 214 215 216
73.	74.	73.	9.52	220 221 222 217 218 219
74.	75.	74.	9.52	223 224 225 220 221 222
75.	76.	75.	9.52	226 0 227 223 224 225
76.	7.	77.	510.	229 20 21 228 0 0

Risultati

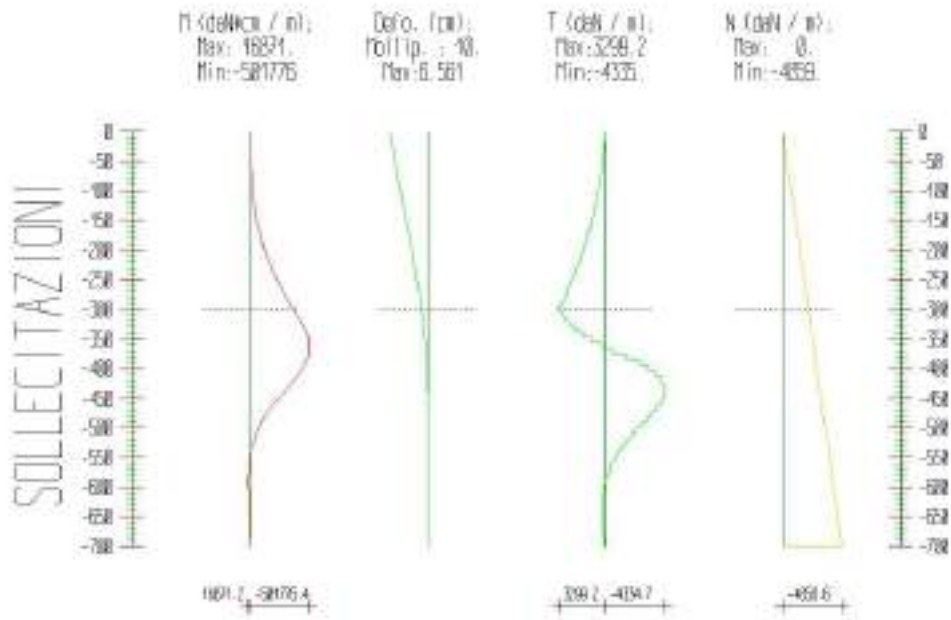
Il calcolo è stato eseguito correttamente per 2 Step.

Singoli Step

Segue la descrizione dei risultati ottenuti nei diversi Step considerati.

Step 1

In questo Step si hanno le seguenti sollecitazioni, deformazioni, reazioni vincolari, pressioni nel terreno e risultanti delle spinte.



Sollecitazioni - Paratia PAR_1					
Progressiva	Spost. x [cm]	Spost. z [cm]	M [daN cm]	T [daN]	N [daN]
-8.3	-6.3988	-0.003	-72.256	8.7	-57.8
-16.7	-6.2364	-0.003	-316.31	29.3	-115.7
-25	-6.0739	-0.003	-768.537	54.3	-173.5
-33.3	-5.9115	-0.003	-1465.3	83.6	-231.4
-41.7	-5.7491	-0.003	-2442.944	117.3	-289.2
-50	-5.5867	-0.003	-3737.79	155.4	-347
-59.5	-5.4012	-0.003	-5651.983	201	-413.1
-69	-5.2158	-0.003	-8082.008	255.2	-479.3
-78.6	-5.0305	-0.003	-11081.921	315	-545.4
-88.1	-4.8454	-0.003	-14705.709	380.5	-611.5
-97.6	-4.6606	-0.003	-19007.071	451.6	-677.6
-107.1	-4.4761	-0.002	-24040.043	528.5	-743.7
-116.7	-4.2921	-0.002	-29858.371	610.9	-809.8
-126.2	-4.1086	-0.002	-36515.709	699	-875.9
-135.7	-3.9257	-0.002	-44065.628	792.7	-942
-145.2	-3.7436	-0.002	-52561.613	892.1	-1008.1
-154.8	-3.5625	-0.002	-62057.063	997	-1074.2

-164.3	-3.3824	-0.002	-72605.295	1107.6	-1140.3
-173.8	-3.2036	-0.002	-84259.55	1223.7	-1206.4
-183.3	-3.0263	-0.002	-97072.991	1345.4	-1272.5
-192.9	-2.8508	-0.002	-111098.712	1472.7	-1338.6
-202.4	-2.6771	-0.002	-126389.741	1605.6	-1404.7
-211.9	-2.5058	-0.002	-142999.047	1744	-1470.8
-221.4	-2.3369	-0.002	-160979.541	1888	-1536.9
-231	-2.1709	-0.002	-180384.086	2037.5	-1603
-240.5	-2.0081	-0.002	-201265.501	2192.5	-1669.1
-250	-1.8488	-0.002	-223676.564	2353.2	-1735.2
-258.3	-1.7127	-0.002	-244582.949	2508.8	-1793.1
-266.7	-1.5799	-0.002	-266736.17	2658.4	-1850.9
-275	-1.4507	-0.002	-290171.528	2812.2	-1908.7
-283.3	-1.3254	-0.002	-314924.313	2970.3	-1966.6
-291.7	-1.2043	-0.002	-341029.805	3132.7	-2024.4
-300	-1.0879	-0.002	-368523.274	3299.2	-2082.3
-309.5	-0.9609	-0.002	-398878.147	3187.3	-2148.4
-319	-0.841	-0.002	-427126.865	2966.1	-2214.5
-328.6	-0.7286	-0.002	-452269.405	2640	-2280.6
-338.1	-0.6242	-0.002	-473305.747	2208.8	-2346.7
-347.6	-0.5281	-0.002	-489235.825	1672.7	-2412.8
-357.1	-0.4406	-0.002	-499059.475	1031.5	-2478.9
-366.7	-0.3619	-0.002	-501776.391	285.3	-2545
-376.2	-0.292	-0.002	-496386.086	-566	-2611.1
-385.7	-0.2309	-0.002	-481887.852	-1522.3	-2677.2
-395.2	-0.1782	-0.002	-458199.377	-2487.3	-2743.3
-404.8	-0.1336	-0.002	-427673.017	-3205.3	-2809.4
-414.3	-0.0965	-0.002	-392295.475	-3714.6	-2875.5
-423.8	-0.0663	-0.002	-353712.018	-4051.3	-2941.6
-433.3	-0.0424	-0.002	-313254.381	-4248.1	-3007.7

-442.9	-0.024	-0.002	-271971.631	-4334.7	-3073.8
-452.4	-0.0104	-0.001	-231408.923	-4259.1	-3139.9
-461.9	-0.0008	-0.001	-192801.136	-4053.8	-3206
-471.4	0.0053	-0.001	-157012.386	-3757.8	-3272.1
-481	0.0086	-0.001	-124597.559	-3403.6	-3338.2
-490.5	0.0097	-0.001	-95859.428	-3017.5	-3404.3
-500	0.0092	-0.001	-70900.433	-2620.7	-3470.4
-509.5	0.0073	-0.001	-49668.637	-2229.3	-3536.5
-519	0.0046	-0.001	-31997.668	-1855.5	-3602.6
-528.6	0.0013	-0.001	-17640.738	-1507.5	-3668.7
-538.1	-0.0023	-0.001	-6298.981	-1190.9	-3734.8
-547.6	-0.006	-0.001	2355.5	-908.7	-3800.9
-557.1	-0.0097	-0.001	8661.395	-662.1	-3867
-566.7	-0.0133	-0.001	12954.252	-450.7	-3933.1
-576.2	-0.0166	-0.001	15556.297	-273.2	-3999.2
-585.7	-0.0197	-0.001	16769.483	-127.4	-4065.3
-595.2	-0.0224	-0.001	16871.241	-10.7	-4131.5
-604.8	-0.0249	-0.001	16112.469	79.7	-4197.6
-614.3	-0.0271	-0.001	14717.303	146.5	-4263.7
-623.8	-0.029	-0.001	12884.265	192.5	-4329.8
-633.3	-0.0307	0	10788.45	220.1	-4395.9
-642.9	-0.0322	0	8584.407	231.4	-4462
-652.4	-0.0336	0	6409.455	228.4	-4528.1
-661.9	-0.0348	0	4387.168	212.3	-4594.2
-671.4	-0.036	0	2630.825	184.4	-4660.3
-681	-0.0371	0	1246.616	145.3	-4726.4
-690.5	-0.0382	0	336.421	95.6	-4792.5
-700	-0.0393	0	0	35.3	-4858.6

Reazioni vincolari

Descrizione	Nome	Orizzontale [daN]	Verticale [daN]	Momento [daN cm]
Base Paratia	PAR_1	-	4858.6	-

Pressioni nel terreno, Paratia PAR_1												
Quota [cm]	Pres. Monte [daN/cm ²]						Pres. Valle [daN/cm ²]					
z	σ_v	σ_h	u	σ'_v	σ'_h	τ	σ_v	σ_h	u	σ'_v	σ'_h	τ
0	0.08	0.021	0	0.08	0.021	0	0	0	0	0	0	0
-8.33	0.095	0.025	0	0.095	0.025	0	0	0	0	0	0	0
-16.67	0.115	0.03	0	0.115	0.03	0	0	0	0	0	0	0
-25	0.135	0.035	0	0.135	0.035	0	0	0	0	0	0	0
-33.33	0.156	0.04	0	0.156	0.04	0	0	0	0	0	0	0
-41.67	0.176	0.046	0	0.176	0.046	0	0	0	0	0	0	0
-50	0.196	0.051	0	0.196	0.051	0	0	0	0	0	0	0
-59.52	0.219	0.057	0	0.219	0.057	0	0	0	0	0	0	0
-69.05	0.242	0.063	0	0.242	0.063	0	0	0	0	0	0	0
-78.57	0.265	0.069	0	0.265	0.069	0	0	0	0	0	0	0
-88.1	0.287	0.075	0	0.287	0.075	0	0	0	0	0	0	0
-97.62	0.31	0.081	0	0.31	0.081	0	0	0	0	0	0	0
-107.14	0.333	0.087	0	0.333	0.087	0	0	0	0	0	0	0
-116.67	0.356	0.093	0	0.356	0.093	0	0	0	0	0	0	0
-126.19	0.378	0.098	0	0.378	0.098	0	0	0	0	0	0	0
-135.71	0.401	0.104	0	0.401	0.104	0	0	0	0	0	0	0
-145.24	0.424	0.11	0	0.424	0.11	0	0	0	0	0	0	0
-154.76	0.446	0.116	0	0.446	0.116	0	0	0	0	0	0	0
-164.29	0.469	0.122	0	0.469	0.122	0	0	0	0	0	0	0
-173.81	0.492	0.128	0	0.492	0.128	0	0	0	0	0	0	0
-183.33	0.514	0.134	0	0.514	0.134	0	0	0	0	0	0	0
-192.86	0.537	0.14	0	0.537	0.14	0	0	0	0	0	0	0
-202.38	0.559	0.145	0	0.559	0.145	0	0	0	0	0	0	0
-211.9	0.581	0.151	0	0.581	0.151	0	0	0	0	0	0	0

-221.43	0.604	0.157	0	0.604	0.157	0	0	0	0	0	0	0
-230.95	0.626	0.163	0	0.626	0.163	0	0	0	0	0	0	0
-240.48	0.649	0.169	0	0.649	0.169	0	0	0	0	0	0	0
-250	0.67	0.174	0	0.67	0.174	0	0	0	0	0	0	0
-258.33	0.691	0.18	0	0.691	0.18	0	0	0	0	0	0	0
-266.67	0.71	0.185	0	0.71	0.185	0	0	0	0	0	0	0
-275	0.73	0.19	0	0.73	0.19	0	0	0	0	0	0	0
-283.33	0.749	0.195	0	0.749	0.195	0	0	0	0	0	0	0
-291.67	0.769	0.2	0	0.769	0.2	0	0	0	0	0	0	0
-300	0.789	0.205	0	0.789	0.205	0	0.064	0.331	0	0.064	0.331	0
-309.52	0.811	0.211	0	0.811	0.211	0	0.085	0.443	0	0.085	0.443	0
-319.05	0.833	0.217	0	0.833	0.217	0	0.108	0.559	0	0.108	0.559	0
-328.57	0.855	0.222	0	0.855	0.222	0	0.13	0.675	0	0.13	0.675	0
-338.1	0.878	0.228	0	0.878	0.228	0	0.152	0.791	0	0.152	0.791	0
-347.62	0.9	0.234	0	0.9	0.234	0	0.174	0.907	0	0.174	0.907	0
-357.14	0.922	0.24	0	0.922	0.24	0	0.197	1.023	0	0.197	1.023	0
-366.67	0.945	0.246	0	0.945	0.246	0	0.219	1.139	0	0.219	1.139	0
-376.19	0.967	0.251	0	0.967	0.251	0	0.241	1.256	0	0.241	1.256	0
-385.71	0.989	0.257	0	0.989	0.257	0	0.264	1.27	0	0.264	1.27	0
-395.24	1.012	0.263	0	1.012	0.263	0	0.286	1.017	0	0.286	1.017	0
-404.76	1.034	0.269	0	1.034	0.269	0	0.308	0.804	0	0.308	0.804	0
-414.29	1.056	0.275	0	1.056	0.275	0	0.331	0.628	0	0.331	0.628	0
-423.81	1.079	0.28	0	1.079	0.28	0	0.353	0.487	0	0.353	0.487	0
-433.33	1.101	0.286	0	1.101	0.286	0	0.376	0.377	0	0.376	0.377	0
-442.86	1.123	0.374	0	1.123	0.374	0	0.398	0.295	0	0.398	0.295	0
-452.38	1.146	0.452	0	1.146	0.452	0	0.42	0.237	0	0.42	0.237	0
-461.9	1.168	0.51	0	1.168	0.51	0	0.443	0.199	0	0.443	0.199	0
-471.43	1.191	0.55	0	1.191	0.55	0	0.465	0.178	0	0.465	0.178	0
-480.95	1.213	0.577	0	1.213	0.577	0	0.488	0.171	0	0.488	0.171	0
-490.48	1.235	0.592	0	1.235	0.592	0	0.51	0.176	0	0.51	0.176	0

-500	1.258	0.599	0	1.258	0.599	0	0.532	0.188	0	0.532	0.188	0
-509.52	1.28	0.6	0	1.28	0.6	0	0.555	0.207	0	0.555	0.207	0
-519.05	1.303	0.596	0	1.303	0.596	0	0.577	0.231	0	0.577	0.231	0
-528.57	1.325	0.59	0	1.325	0.59	0	0.6	0.257	0	0.6	0.257	0
-538.1	1.348	0.582	0	1.348	0.582	0	0.622	0.285	0	0.622	0.285	0
-547.62	1.37	0.573	0	1.37	0.573	0	0.645	0.314	0	0.645	0.314	0
-557.14	1.393	0.564	0	1.393	0.564	0	0.667	0.342	0	0.667	0.342	0
-566.67	1.415	0.556	0	1.415	0.556	0	0.69	0.37	0	0.69	0.37	0
-576.19	1.438	0.55	0	1.438	0.55	0	0.712	0.396	0	0.712	0.396	0
-585.71	1.46	0.544	0	1.46	0.544	0	0.735	0.422	0	0.735	0.422	0
-595.24	1.483	0.54	0	1.483	0.54	0	0.757	0.445	0	0.757	0.445	0
-604.76	1.505	0.538	0	1.505	0.538	0	0.78	0.468	0	0.78	0.468	0
-614.29	1.528	0.537	0	1.528	0.537	0	0.802	0.489	0	0.802	0.489	0
-623.81	1.55	0.537	0	1.55	0.537	0	0.825	0.508	0	0.825	0.508	0
-633.33	1.573	0.538	0	1.573	0.538	0	0.848	0.527	0	0.848	0.527	0
-642.86	1.596	0.541	0	1.596	0.541	0	0.87	0.544	0	0.87	0.544	0
-652.38	1.618	0.544	0	1.618	0.544	0	0.893	0.561	0	0.893	0.561	0
-661.9	1.641	0.548	0	1.641	0.548	0	0.915	0.577	0	0.915	0.577	0
-671.43	1.663	0.552	0	1.663	0.552	0	0.938	0.593	0	0.938	0.593	0
-680.95	1.686	0.556	0	1.686	0.556	0	0.96	0.608	0	0.96	0.608	0
-690.48	1.709	0.561	0	1.709	0.561	0	0.983	0.624	0	0.983	0.624	0
-700	1.725	0.563	0	1.725	0.563	0	1	0.637	0	1	0.637	0

σ_v = tensione verticale totale

σ_h = tensione orizzontale totale

u = pressione neutra

σ'_v = tensione verticale efficace

σ'_h = tensione orizzontale efficace

Risultanti delle pressioni [daN] e bracci [cm], Paratia PAR_1												
Monte							Valle					

R _h	-21159.6	b _h	477.9	R _h	21159.6	b _h	477.9
R' _h	-21159.6	b' _h	477.9	R' _h	21159.6	b' _h	477.9
R _u	0	b _u	0	R _u	0	b _u	0

R = risultanti delle spinte, b = bracci rispetto alla testa della paratia.

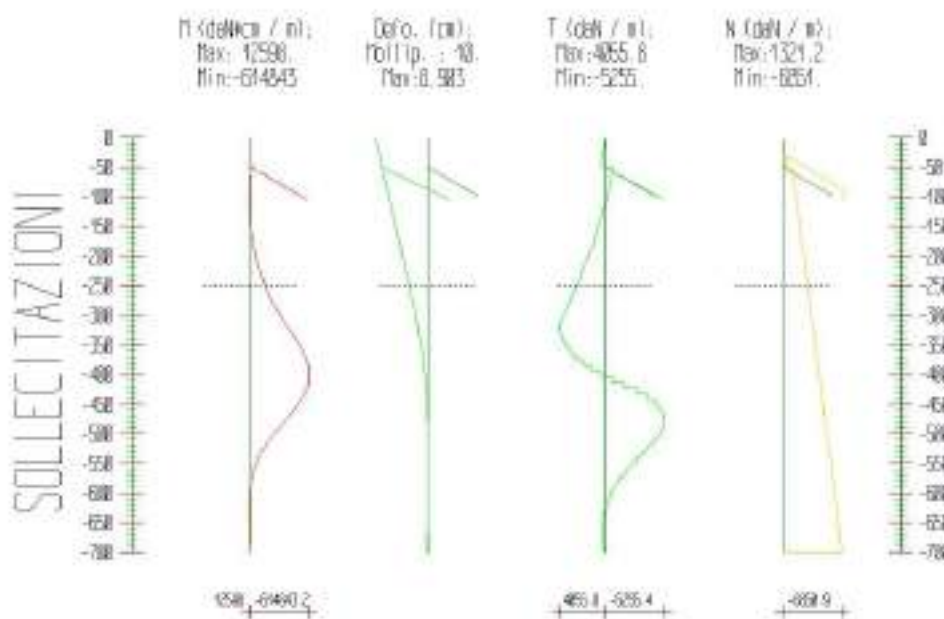
pedice h = risultante delle pressioni totali sulla paratia.

pedice 'h = risultante delle pressioni efficaci sulla paratia.

pedice u = risultante delle pressioni neutre sulla paratia.

Step 2

In questo Step si hanno le seguenti sollecitazioni, deformazioni, reazioni vincolari, pressioni nel terreno e risultanti delle spinte.



Sollecitazioni - Paratia PAR_1					
Progressiva	Spost. x [cm]	Spost. z [cm]	M [daN cm]	T [daN]	N [daN]
-8.3	-8.7099	-0.004	-247.277	50.7	-73.7
-16.7	-8.5169	-0.004	-1016.392	113.3	-147.4
-25	-8.3238	-0.004	-2343.721	180.3	-221.1
-33.3	-8.1308	-0.004	-4265.626	251.6	-294.8
-41.7	-7.9379	-0.004	-6818.453	327.3	-368.5
-50	-7.745	-0.004	-10038.524	407.4	-442.2
-59.5	-7.5247	-0.004	-3684.367	-643.2	-1187

-69	-7.3045	-0.004	1696.763	-541	-1271.2
-78.6	-7.0843	-0.004	6050.808	-433.2	-1355.4
-88.1	-6.8639	-0.004	9323.781	-319.7	-1439.7
-97.6	-6.6434	-0.004	11461.984	-200.5	-1523.9
-107.1	-6.4227	-0.004	12411.38	-75.7	-1608.1
-116.7	-6.2018	-0.004	12118.224	54.8	-1692.3
-126.2	-5.9807	-0.004	10528.861	190.9	-1776.5
-135.7	-5.7594	-0.004	7589.719	332.6	-1860.8
-145.2	-5.5379	-0.004	3247.315	480	-1945
-154.8	-5.3164	-0.004	-2551.751	632.9	-2029.2
-164.3	-5.095	-0.004	-9860.797	791.5	-2113.4
-173.8	-4.8737	-0.004	-18733.063	955.6	-2197.6
-183.3	-4.6528	-0.004	-29221.712	1125.3	-2281.9
-192.9	-4.4323	-0.004	-41379.84	1300.6	-2366.1
-202.4	-4.2127	-0.003	-55260.473	1481.5	-2450.3
-211.9	-3.994	-0.003	-70916.581	1667.9	-2534.5
-221.4	-3.7765	-0.003	-88401.076	1859.9	-2618.8
-231	-3.5606	-0.003	-107766.82	2057.4	-2703
-240.5	-3.3467	-0.003	-129066.633	2260.5	-2787.2
-250	-3.135	-0.003	-152353.292	2469.1	-2871.4
-258.3	-2.9519	-0.003	-174400.87	2666.7	-2945.1
-266.7	-2.7712	-0.003	-198045.325	2858.3	-3018.8
-275	-2.5932	-0.003	-223321.961	3054.2	-3092.5
-283.3	-2.4183	-0.003	-250266.067	3254.3	-3166.2
-291.7	-2.2467	-0.003	-278912.92	3458.6	-3239.9
-300	-2.0788	-0.003	-309297.794	3667.2	-3313.6
-309.5	-1.8922	-0.003	-346164.445	3895	-3397.8
-319	-1.7116	-0.003	-384313.69	4029.7	-3482
-328.6	-1.5378	-0.003	-422712.004	4055.8	-3566.2
-338.1	-1.3715	-0.003	-460325.863	3973.5	-3650.5

-347.6	-1.2133	-0.003	-496121.743	3782.6	-3734.7
-357.1	-1.0639	-0.003	-529066.128	3483.2	-3818.9
-366.7	-0.9237	-0.003	-558125.51	3075.2	-3903.1
-376.2	-0.7934	-0.003	-582266.391	2558.8	-3987.3
-385.7	-0.6733	-0.003	-600455.284	1933.8	-4071.6
-395.2	-0.5639	-0.003	-611658.719	1200.4	-4155.8
-404.8	-0.4651	-0.002	-614843.239	358.4	-4240
-414.3	-0.3772	-0.002	-608975.404	-592.1	-4324.2
-423.8	-0.3	-0.002	-593021.708	-1651.1	-4408.4
-433.3	-0.2333	-0.002	-565948.832	-2818.6	-4492.7
-442.9	-0.1765	-0.002	-530063.638	-3743.9	-4576.9
-452.4	-0.129	-0.002	-487903.392	-4402.8	-4661.1
-461.9	-0.0901	-0.002	-441582.129	-4839.7	-4745.3
-471.4	-0.059	-0.002	-392824.327	-5095.6	-4829.6
-481	-0.0348	-0.002	-343001.506	-5207.4	-4913.8
-490.5	-0.0167	-0.002	-293572.414	-5166.1	-4998
-500	-0.0037	-0.002	-246178.813	-4952.3	-5082.2
-509.5	0.0048	-0.002	-201992.315	-4615.6	-5166.4
-519	0.0099	-0.002	-161789.9	-4197.3	-5250.7
-528.6	0.012	-0.002	-126024.4	-3731.4	-5334.9
-538.1	0.0119	-0.001	-94888.707	-3245.2	-5419.1
-547.6	0.0102	-0.001	-68372.94	-2760.2	-5503.3
-557.1	0.0072	-0.001	-46314.266	-2292.2	-5587.5
-566.7	0.0033	-0.001	-28439.368	-1852.9	-5671.8
-576.2	-0.001	-0.001	-14399.808	-1450.2	-5756
-585.7	-0.0056	-0.001	-3800.721	-1088.9	-5840.2
-595.2	-0.0102	-0.001	3776.619	-771.6	-5924.4
-604.8	-0.0149	-0.001	8757.726	-499	-6008.6
-614.3	-0.0193	-0.001	11562.671	-270.5	-6092.9
-623.8	-0.0236	-0.001	12597.996	-84.7	-6177.1

-633.3	-0.0276	-0.001	12252.121	60.3	-6261.3
-642.9	-0.0315	-0.001	10893.584	166.6	-6345.5
-652.4	-0.0351	0	8871.495	236.3	-6429.7
-661.9	-0.0386	0	6517.694	271.2	-6514
-671.4	-0.0419	0	4149.674	272.6	-6598.2
-681	-0.0452	0	2074.485	241.9	-6682.4
-690.5	-0.0485	0	592.369	179.6	-6766.6
-700	-0.0517	0	0	86.2	-6850.9

Sollecitazioni - Tirante TIR_1_1					
Progressiva	Spost. x [cm]	Spost. z [cm]	M [daN cm]	T [daN]	N [daN]
56.7	-6.884	-0.003	0	0	1321.2
113.3	-6.024	-0.003	0	0	1321.2
170	-5.163	-0.003	0	0	1321.2
226.7	-4.303	-0.002	0	0	1321.2
283.3	-3.442	-0.002	0	0	1321.2
340	-2.582	-0.001	0	0	1321.2
396.7	-1.721	-0.001	0	0	1321.2
453.3	-0.861	0	0	0	1321.2
510	0	0	0	0	1321.2

Reazioni vincolari				
Descrizione	Nome	Orizzontale [daN]	Verticale [daN]	Momento [daN cm]
Base Paratia	PAR_1	-	6850.9	-

Pressioni nel terreno, Paratia PAR_1												
Quota [cm]	Pres. Monte [daN/cm ²]						Pres. Valle [daN/cm ²]					
z	σ_v	σ_h	u	σ'_v	σ'_h	τ	σ_v	σ_h	u	σ'_v	σ'_h	τ
0	0.08	0.021	0	0.08	0.021	0	0	0	0	0	0	0
-8.33	0.095	0.025	0	0.095	0.025	0	0	0	0	0	0	0

-16.67	0.115	0.03	0	0.115	0.03	0	0	0	0	0	0	0
-25	0.135	0.035	0	0.135	0.035	0	0	0	0	0	0	0
-33.33	0.156	0.04	0	0.156	0.04	0	0	0	0	0	0	0
-41.67	0.176	0.046	0	0.176	0.046	0	0	0	0	0	0	0
-50	0.196	0.051	0	0.196	0.051	0	0	0	0	0	0	0
-59.52	0.219	0.057	0	0.219	0.057	0	0	0	0	0	0	0
-69.05	0.242	0.063	0	0.242	0.063	0	0	0	0	0	0	0
-78.57	0.265	0.069	0	0.265	0.069	0	0	0	0	0	0	0
-88.1	0.287	0.075	0	0.287	0.075	0	0	0	0	0	0	0
-97.62	0.31	0.081	0	0.31	0.081	0	0	0	0	0	0	0
-107.14	0.333	0.087	0	0.333	0.087	0	0	0	0	0	0	0
-116.67	0.356	0.093	0	0.356	0.093	0	0	0	0	0	0	0
-126.19	0.378	0.098	0	0.378	0.098	0	0	0	0	0	0	0
-135.71	0.401	0.104	0	0.401	0.104	0	0	0	0	0	0	0
-145.24	0.424	0.11	0	0.424	0.11	0	0	0	0	0	0	0
-154.76	0.446	0.116	0	0.446	0.116	0	0	0	0	0	0	0
-164.29	0.469	0.122	0	0.469	0.122	0	0	0	0	0	0	0
-173.81	0.492	0.128	0	0.492	0.128	0	0	0	0	0	0	0
-183.33	0.514	0.134	0	0.514	0.134	0	0	0	0	0	0	0
-192.86	0.537	0.14	0	0.537	0.14	0	0	0	0	0	0	0
-202.38	0.559	0.145	0	0.559	0.145	0	0	0	0	0	0	0
-211.9	0.581	0.151	0	0.581	0.151	0	0	0	0	0	0	0
-221.43	0.604	0.157	0	0.604	0.157	0	0	0	0	0	0	0
-230.95	0.626	0.163	0	0.626	0.163	0	0	0	0	0	0	0
-240.48	0.649	0.169	0	0.649	0.169	0	0	0	0	0	0	0
-250	0.67	0.174	0	0.67	0.174	0	0	0	0	0	0	0
-258.33	0.691	0.18	0	0.691	0.18	0	0	0	0	0	0	0
-266.67	0.71	0.185	0	0.71	0.185	0	0	0	0	0	0	0
-275	0.73	0.19	0	0.73	0.19	0	0	0	0	0	0	0
-283.33	0.749	0.195	0	0.749	0.195	0	0	0	0	0	0	0

-291.67	0.769	0.2	0	0.769	0.2	0	0	0	0	0	0	0
-300	0.789	0.205	0	0.789	0.205	0	0.001	0.004	0	0.001	0.004	0
-309.52	0.811	0.211	0	0.811	0.211	0	0.023	0.12	0	0.023	0.12	0
-319.05	0.833	0.217	0	0.833	0.217	0	0.046	0.239	0	0.046	0.239	0
-328.57	0.855	0.222	0	0.855	0.222	0	0.069	0.359	0	0.069	0.359	0
-338.1	0.878	0.228	0	0.878	0.228	0	0.092	0.479	0	0.092	0.479	0
-347.62	0.9	0.234	0	0.9	0.234	0	0.115	0.599	0	0.115	0.599	0
-357.14	0.922	0.24	0	0.922	0.24	0	0.138	0.718	0	0.138	0.718	0
-366.67	0.945	0.246	0	0.945	0.246	0	0.161	0.838	0	0.161	0.838	0
-376.19	0.967	0.251	0	0.967	0.251	0	0.184	0.958	0	0.184	0.958	0
-385.71	0.989	0.257	0	0.989	0.257	0	0.207	1.078	0	0.207	1.078	0
-395.24	1.012	0.263	0	1.012	0.263	0	0.23	1.197	0	0.23	1.197	0
-404.76	1.034	0.269	0	1.034	0.269	0	0.253	1.317	0	0.253	1.317	0
-414.29	1.056	0.275	0	1.056	0.275	0	0.276	1.437	0	0.276	1.437	0
-423.81	1.079	0.28	0	1.079	0.28	0	0.299	1.557	0	0.299	1.557	0
-433.33	1.101	0.286	0	1.101	0.286	0	0.322	1.308	0	0.322	1.308	0
-442.86	1.123	0.292	0	1.123	0.292	0	0.345	1.034	0	0.345	1.034	0
-452.38	1.146	0.298	0	1.146	0.298	0	0.368	0.807	0	0.368	0.807	0
-461.9	1.168	0.304	0	1.168	0.304	0	0.391	0.623	0	0.391	0.623	0
-471.43	1.191	0.31	0	1.191	0.31	0	0.415	0.477	0	0.415	0.477	0
-480.95	1.213	0.36	0	1.213	0.36	0	0.438	0.367	0	0.438	0.367	0
-490.48	1.235	0.46	0	1.235	0.46	0	0.461	0.286	0	0.461	0.286	0
-500	1.258	0.535	0	1.258	0.535	0	0.484	0.232	0	0.484	0.232	0
-509.52	1.28	0.588	0	1.28	0.588	0	0.507	0.199	0	0.507	0.199	0
-519.05	1.303	0.623	0	1.303	0.623	0	0.53	0.184	0	0.53	0.184	0
-528.57	1.325	0.643	0	1.325	0.643	0	0.553	0.183	0	0.553	0.183	0
-538.1	1.348	0.653	0	1.348	0.653	0	0.576	0.194	0	0.576	0.194	0
-547.62	1.37	0.654	0	1.37	0.654	0	0.599	0.213	0	0.599	0.213	0
-557.14	1.393	0.649	0	1.393	0.649	0	0.622	0.238	0	0.622	0.238	0
-566.67	1.415	0.639	0	1.415	0.639	0	0.645	0.267	0	0.645	0.267	0

-576.19	1.438	0.628	0	1.438	0.628	0	0.668	0.299	0	0.668	0.299	0
-585.71	1.46	0.615	0	1.46	0.615	0	0.691	0.332	0	0.691	0.332	0
-595.24	1.483	0.601	0	1.483	0.601	0	0.714	0.365	0	0.714	0.365	0
-604.76	1.505	0.588	0	1.505	0.588	0	0.737	0.399	0	0.737	0.399	0
-614.29	1.528	0.576	0	1.528	0.576	0	0.76	0.431	0	0.76	0.431	0
-623.81	1.55	0.564	0	1.55	0.564	0	0.783	0.462	0	0.783	0.462	0
-633.33	1.573	0.554	0	1.573	0.554	0	0.806	0.493	0	0.806	0.493	0
-642.86	1.596	0.545	0	1.596	0.545	0	0.829	0.522	0	0.829	0.522	0
-652.38	1.618	0.537	0	1.618	0.537	0	0.852	0.55	0	0.852	0.55	0
-661.9	1.641	0.529	0	1.641	0.529	0	0.875	0.578	0	0.875	0.578	0
-671.43	1.663	0.522	0	1.663	0.522	0	0.898	0.605	0	0.898	0.605	0
-680.95	1.686	0.516	0	1.686	0.516	0	0.921	0.631	0	0.921	0.631	0
-690.48	1.709	0.509	0	1.709	0.509	0	0.944	0.658	0	0.944	0.658	0
-700	1.725	0.501	0	1.725	0.501	0	0.961	0.682	0	0.961	0.682	0

σ_v = tensione verticale totale

σ_h = tensione orizzontale totale

u = pressione neutra

σ'_v = tensione verticale efficace

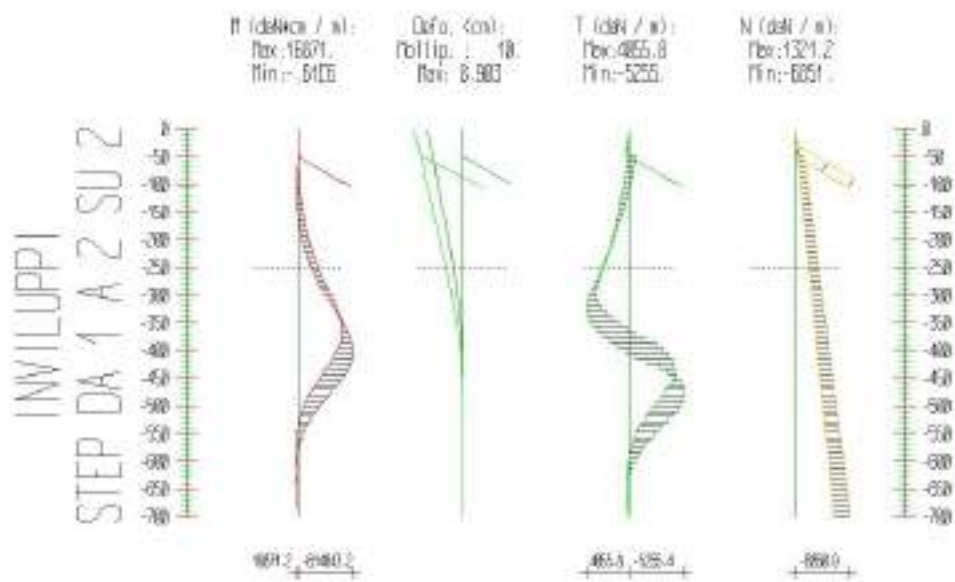
σ'_h = tensione orizzontale efficace

Risultanti delle pressioni [daN] e bracci [cm], Paratia PAR_1							
Monte				Valle			
R _h	-20641.7	b _h	479.7	R _h	23025.8	b _h	481.2
R' _h	-20641.7	b' _h	479.7	R' _h	23025.8	b' _h	481.2
R _u	0	b _u	0	R _u	0	b _u	0

R = risultanti delle spinte, b = bracci rispetto alla testa della paratia.
pedice h = risultante delle pressioni totali sulla paratia.
pedice 'h = risultante delle pressioni efficaci sulla paratia.
pedice u = risultante delle pressioni neutre sulla paratia.

Inviluppo delle sollecitazioni

Segue l'inviluppo dei risultati ottenuti negli Step considerati.



Inviluppo - Paratia PAR_1						
Progressiva	M [daN cm]		T [daN]		N [daN]	
z	Min.	Max	Min.	Max	Min.	Max
-8.3	-247.3	-72.3	8.7	50.7	-73.7	-57.8
-16.7	-1016.	-316.3	29.3	113.3	-147.4	-115.7
-25.	-2344.	-768.5	54.3	180.3	-221.1	-173.5
-33.3	-4266.	-1465.	83.6	251.6	-294.8	-231.4
-41.7	-6819.	-2443.	117.3	327.3	-368.5	-289.2
-50.	-10039	-3738.	155.4	407.4	-442.2	-347.
-59.5	-5652.	-3684.	-643.2	201.	-1187.	-413.1
-69.	-8082.	1696.8	-541.	255.2	-1271.	-479.3
-78.6	-11082	6050.8	-433.2	315.	-1355.	-545.4
-88.1	-14706	9323.8	-319.7	380.5	-1440.	-611.5
-97.6	-19007	11462.	-200.5	451.6	-1524.	-677.6
-107.1	-24040	12411.	-75.7	528.5	-1608.	-743.7
-116.7	-29858	12118.	54.8	610.9	-1692.	-809.8
-126.2	-36516	10529.	190.9	699.	-1777.	-875.9
-135.7	-44066	7589.7	332.6	792.7	-1861.	-942.

-145.2	-52562	3247.3	480.	892.1	-1945.	-1008.
-154.8	-62057	-2552.	632.9	997.	-2029.	-1074.
-164.3	-72605	-9861.	791.5	1107.6	-2113.	-1140.
-173.8	-84260	-18733	955.6	1223.7	-2198.	-1206.
-183.3	-97073	-29222	1125.3	1345.4	-2282.	-1273.
-192.9	-.11E6	-41380	1300.6	1472.7	-2366.	-1339.
-202.4	-.13E6	-55261	1481.5	1605.6	-2450.	-1405.
-211.9	-.14E6	-70917	1667.9	1744.	-2535.	-1471.
-221.4	-.16E6	-88401	1859.9	1888.	-2619.	-1537.
-231.	-.18E6	-.11E6	2037.5	2057.4	-2703.	-1603.
-240.5	-.2E6	-.13E6	2192.5	2260.5	-2787.	-1669.
-250.	-.22E6	-.15E6	2353.2	2469.1	-2871.	-1735.
-258.3	-.24E6	-.17E6	2508.8	2666.7	-2945.	-1793.
-266.7	-.27E6	-.2E6	2658.4	2858.3	-3019.	-1851.
-275.	-.29E6	-.22E6	2812.2	3054.2	-3093.	-1909.
-283.3	-.31E6	-.25E6	2970.3	3254.3	-3166.	-1967.
-291.7	-.34E6	-.28E6	3132.7	3458.6	-3240.	-2024.
-300.	-.37E6	-.31E6	3299.2	3667.2	-3314.	-2082.
-309.5	-.4E6	-.35E6	3187.3	3895.	-3398.	-2148.
-319.	-.43E6	-.38E6	2966.1	4029.7	-3482.	-2215.
-328.6	-.45E6	-.42E6	2640.	4055.8	-3566.	-2281.
-338.1	-.47E6	-.46E6	2208.8	3973.5	-3651.	-2347.
-347.6	-.5E6	-.49E6	1672.7	3782.6	-3735.	-2413.
-357.1	-.53E6	-.5E6	1031.5	3483.2	-3819.	-2479.
-366.7	-.56E6	-.5E6	285.3	3075.2	-3903.	-2545.
-376.2	-.58E6	-.5E6	-566.	2558.8	-3987.	-2611.
-385.7	-.6E6	-.48E6	-1522.	1933.8	-4072.	-2677.
-395.2	-.61E6	-.46E6	-2487.	1200.4	-4156.	-2743.
-404.8	-.61E6	-.43E6	-3205.	358.4	-4240.	-2809.
-414.3	-.61E6	-.39E6	-3715.	-592.1	-4324.	-2876.

-423.8	-.59E6	-.35E6	-4051.	-1651.	-4408.	-2942.
-433.3	-.57E6	-.31E6	-4248.	-2819.	-4493.	-3008.
-442.9	-.53E6	-.27E6	-4335.	-3744.	-4577.	-3074.
-452.4	-.49E6	-.23E6	-4403.	-4259.	-4661.	-3140.
-461.9	-.44E6	-.19E6	-4840.	-4054.	-4745.	-3206.
-471.4	-.39E6	-.16E6	-5096.	-3758.	-4830.	-3272.
-481.	-.34E6	-.12E6	-5207.	-3404.	-4914.	-3338.
-490.5	-.29E6	-95859	-5166.	-3018.	-4998.	-3404.
-500.	-.25E6	-70900	-4952.	-2621.	-5082.	-3470.
-509.5	-.2E6	-49669	-4616.	-2229.	-5166.	-3537.
-519.	-.16E6	-31998	-4197.	-1856.	-5251.	-3603.
-528.6	-.13E6	-17641	-3731.	-1508.	-5335.	-3669.
-538.1	-94889	-6299.	-3245.	-1191.	-5419.	-3735.
-547.6	-68373	2355.5	-2760.	-908.7	-5503.	-3801.
-557.1	-46314	8661.4	-2292.	-662.1	-5588.	-3867.
-566.7	-28439	12954.	-1853.	-450.7	-5672.	-3933.
-576.2	-14400	15556.	-1450.	-273.2	-5756.	-3999.
-585.7	-3801.	16770.	-1089.	-127.4	-5840.	-4065.
-595.2	3776.6	16871.	-771.6	-10.7	-5924.	-4132.
-604.8	8757.7	16113.	-499.	79.7	-6009.	-4198.
-614.3	11563.	14717.	-270.5	146.5	-6093.	-4264.
-623.8	12598.	12884.	-84.7	192.5	-6177.	-4330.
-633.3	10788.	12252.	60.3	220.1	-6261.	-4396.
-642.9	8584.4	10894.	166.6	231.4	-6346.	-4462.
-652.4	6409.5	8871.5	228.4	236.3	-6430.	-4528.
-661.9	4387.2	6517.7	212.3	271.2	-6514.	-4594.
-671.4	2630.8	4149.7	184.4	272.6	-6598.	-4660.
-681.	1246.6	2074.5	145.3	241.9	-6682.	-4726.
-690.5	336.4	592.4	95.6	179.6	-6767.	-4793.
-700.	0.	0.	35.3	86.2	-6851.	-4859.

Inviluppo - Tirante TIR_1_1						
Progressiva	M [daN cm]		T [daN]		N [daN]	
z	Min.	Max	Min.	Max	Min.	Max
56.7	0.	0.	0.	0.	1321.2	1321.2
113.3	0.	0.	0.	0.	1321.2	1321.2
170.	0.	0.	0.	0.	1321.2	1321.2
226.7	0.	0.	0.	0.	1321.2	1321.2
283.3	0.	0.	0.	0.	1321.2	1321.2
340.	0.	0.	0.	0.	1321.2	1321.2
396.7	0.	0.	0.	0.	1321.2	1321.2
453.3	0.	0.	0.	0.	1321.2	1321.2
510.	0.	0.	0.	0.	1321.2	1321.2

Verifiche

Il calcolo è stato eseguito correttamente per 2 Step.

Verifiche tensionali

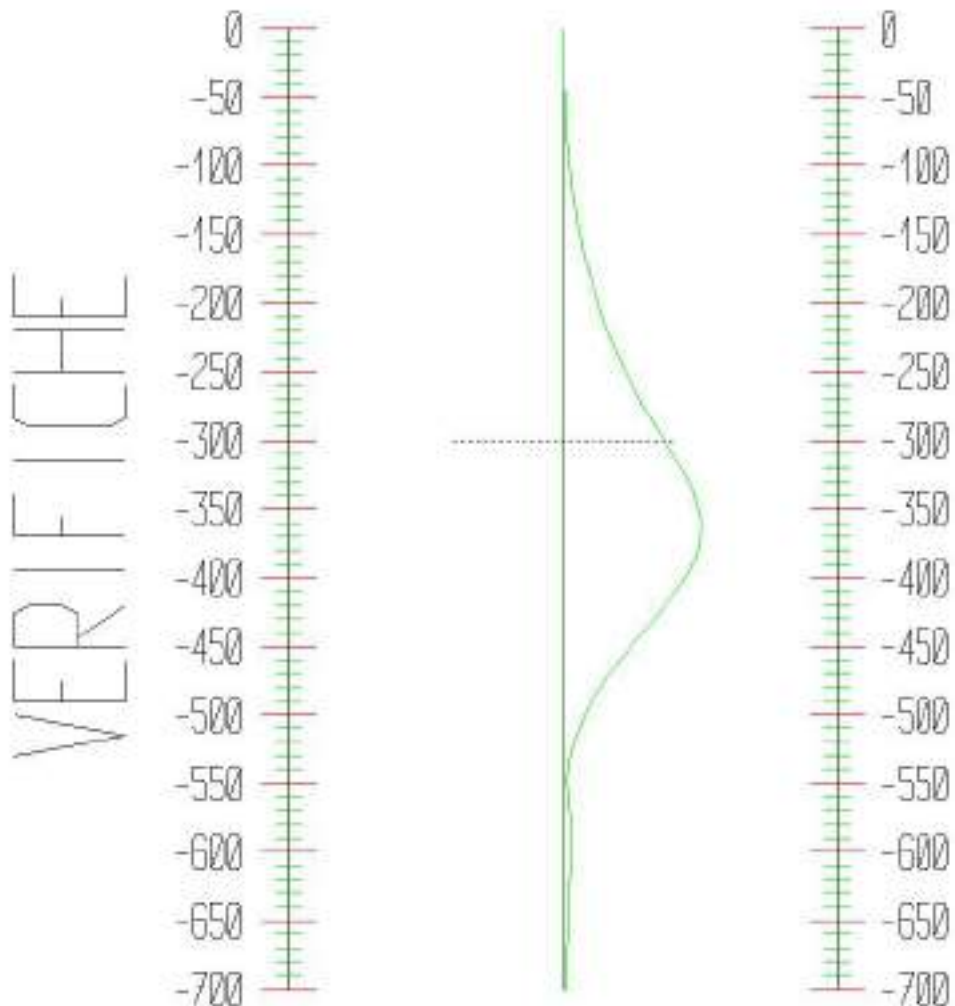
Le verifiche tensionali vengono eseguite col metodo degli stati limite. Le sezioni degli elementi strutturali sono verificate a pressoflessione retta, sollecitate dai valori di momento flettente e sforzo normale derivanti dal calcolo.

Segue la descrizione dei risultati ottenuti nei diversi Step considerati.

Step 1

In questo Step si hanno i seguenti valori di tensione:

Acciaio (daN/cm²):
Max:-2930.



Tensioni - Paratia PAR_1 - Porzione 1 (acciaio:3550)							
Progressiva	M [daN cm]	N [daN]	σ max [daN/cm ²]	σ max2 [daN/cm ²]	ε max [%]	ε max2 [%]	Verifica
-8.3	-32.5	-26.1	-1.2	-0.4	0	0	Soddisfatta
-16.7	-142.5	-52.1	-3.4	0.2	0	0	Soddisfatta
-25	-346.2	-78.2	-6.8	2	0	0	Soddisfatta
-33.3	-660	-104.2	-11.6	5.3	-0.01	0	Soddisfatta
-41.7	-1100.4	-130.3	-18.1	10.1	-0.01	0	Soddisfatta

-50	-1683.7	-156.3	-26.3	16.8	-0.01	0.01	Soddisfatta
-59.5	-2545.9	-186.1	-38.3	26.9	-0.02	0.01	Soddisfatta
-69	-3640.5	-215.9	-53.2	40	-0.03	0.02	Soddisfatta
-78.6	-4991.9	-245.7	-71.5	56.4	-0.03	0.03	Soddisfatta
-88.1	-6624.2	-275.4	-93.3	76.4	-0.05	0.04	Soddisfatta
-97.6	-8561.7	-305.2	-119	100.3	-0.06	0.05	Soddisfatta
-107.1	-10828.8	-335	-149	128.5	-0.07	0.06	Soddisfatta
-116.7	-13449.7	-364.8	-183.4	161.1	-0.09	0.08	Soddisfatta
-126.2	-16448.5	-394.5	-222.8	198.6	-0.11	0.1	Soddisfatta
-135.7	-19849.4	-424.3	-267.2	241.3	-0.13	0.12	Soddisfatta
-145.2	-23676.4	-454.1	-317.2	289.4	-0.15	0.14	Soddisfatta
-154.8	-27953.6	-483.9	-372.9	343.3	-0.18	0.17	Soddisfatta
-164.3	-32705.1	-513.6	-434.6	403.2	-0.21	0.2	Soddisfatta
-173.8	-37954.8	-543.4	-502.8	469.6	-0.24	0.23	Soddisfatta
-183.3	-43726.6	-573.2	-577.6	542.6	-0.28	0.26	Soddisfatta
-192.9	-50044.5	-603	-659.5	622.6	-0.32	0.3	Soddisfatta
-202.4	-56932.3	-632.7	-748.6	709.9	-0.36	0.34	Soddisfatta
-211.9	-64414	-662.5	-845.4	804.8	-0.41	0.39	Soddisfatta
-221.4	-72513.3	-692.3	-950	907.7	-0.46	0.44	Soddisfatta
-231	-81254.1	-722.1	-1062.9	1018.7	-0.52	0.49	Soddisfatta
-240.5	-90660.1	-751.9	-1184.3	1138.3	-0.57	0.55	Soddisfatta
-250	-100755.2	-781.6	-1314.5	1266.7	-0.64	0.61	Soddisfatta
-258.3	-110172.5	-807.7	-1436	1386.5	-0.7	0.67	Soddisfatta
-266.7	-120151.4	-833.7	-1564.6	1513.6	-0.76	0.73	Soddisfatta
-275	-130707.9	-859.8	-1700.6	1648	-0.83	0.8	Soddisfatta
-283.3	-141857.8	-885.8	-1844.2	1790	-0.9	0.87	Soddisfatta
-291.7	-153617	-911.9	-1995.6	1939.9	-0.97	0.94	Soddisfatta
-300	-166001.5	-938	-2155.1	2097.7	-1.05	1.02	Soddisfatta
-309.5	-179674.8	-967.7	-2331.1	2271.9	-1.13	1.1	Soddisfatta
-319	-192399.5	-997.5	-2495	2434	-1.21	1.18	Soddisfatta

-328.6	-203725	-1027.3	-2641	2578.2	-1.28	1.25	Soddisfatta
-338.1	-213200.8	-1057.1	-2763.3	2698.7	-1.34	1.31	Soddisfatta
-347.6	-220376.5	-1086.8	-2856.2	2789.7	-1.39	1.35	Soddisfatta
-357.1	-224801.6	-1116.6	-2913.7	2845.4	-1.41	1.38	Soddisfatta
-366.7	-226025.4	-1146.4	-2930.3	2860.2	-1.42	1.39	Soddisfatta
-376.2	-223597.3	-1176.2	-2900.1	2828.2	-1.41	1.37	Soddisfatta
-385.7	-217066.6	-1205.9	-2817.4	2743.6	-1.37	1.33	Soddisfatta
-395.2	-206396.1	-1235.7	-2681.6	2606	-1.3	1.27	Soddisfatta
-404.8	-192645.5	-1265.5	-2506.4	2429	-1.22	1.18	Soddisfatta
-414.3	-176709.7	-1295.3	-2303.2	2223.9	-1.12	1.08	Soddisfatta
-423.8	-159329.7	-1325	-2081.5	2000.4	-1.01	0.97	Soddisfatta
-433.3	-141105.6	-1354.8	-1848.9	1766.1	-0.9	0.86	Soddisfatta
-442.9	-122509.7	-1384.6	-1611.6	1526.9	-0.78	0.74	Soddisfatta
-452.4	-104238.3	-1414.4	-1378.5	1292	-0.67	0.63	Soddisfatta
-461.9	-86847.4	-1444.1	-1156.6	1068.3	-0.56	0.52	Soddisfatta
-471.4	-70726.3	-1473.9	-951	860.9	-0.46	0.42	Soddisfatta
-481	-56125	-1503.7	-764.9	672.9	-0.37	0.33	Soddisfatta
-490.5	-43179.9	-1533.5	-600	506.2	-0.29	0.25	Soddisfatta
-500	-31937.1	-1563.3	-456.9	361.3	-0.22	0.18	Soddisfatta

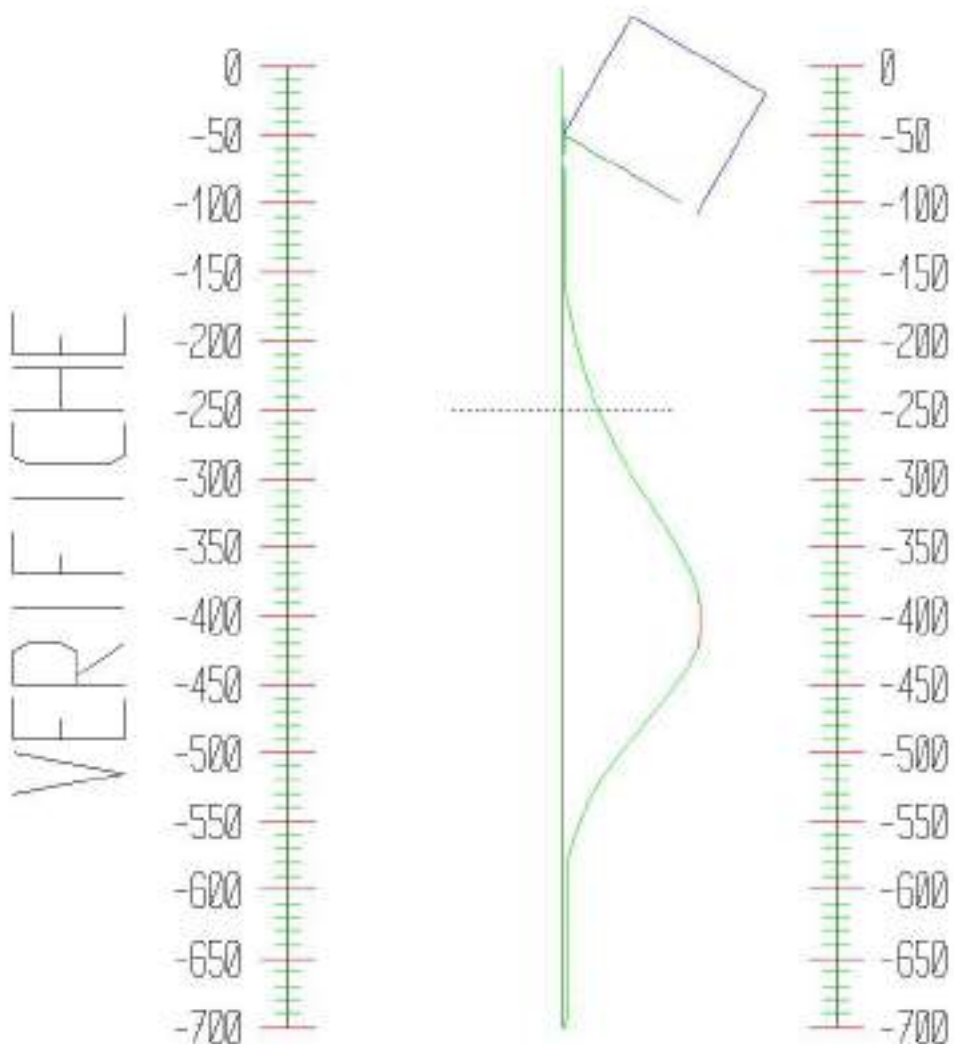
-509.5	-22373.3	-1593	-335.3	237.9	-0.16	0.12	Soddisfatta
-519	-14413.4	- 1622.8	-234.3	135	-0.11	0.07	Soddisfatta
-528.6	-7946.3	- 1652.6	-152.3	51.2	-0.07	0.02	Soddisfatta
-538.1	-2837.4	- 1682.4	-87.8	-15.1	-0.04	-0.01	Soddisfatta
-547.6	1061	- 1712.1	-66	-38.8	-0.03	-0.02	Soddisfatta
-557.1	3901.5	- 1741.9	-103.3	-3.3	-0.05	0	Soddisfatta
-566.7	5835.2	- 1771.7	-128.9	20.6	-0.06	0.01	Soddisfatta
-576.2	7007.3	- 1801.5	-144.9	34.7	-0.07	0.02	Soddisfatta
-585.7	7553.8	- 1831.2	-152.8	40.8	-0.07	0.02	Soddisfatta
-595.2	7599.7	-1861	-154.3	40.4	-0.07	0.02	Soddisfatta
-604.8	7257.9	- 1890.8	-150.8	35.1	-0.07	0.02	Soddisfatta
-614.3	6629.4	- 1920.6	-143.7	26.2	-0.07	0.01	Soddisfatta
-623.8	5803.7	- 1950.3	-134	14.7	-0.07	0.01	Soddisfatta
-633.3	4859.7	- 1980.1	-122.8	1.7	-0.06	0	Soddisfatta
-642.9	3866.9	- 2009.9	-111	-11.9	-0.05	-0.01	Soddisfatta
-652.4	2887.1	- 2039.7	-99.4	-25.4	-0.05	-0.01	Soddisfatta
-661.9	1976.2	- 2069.4	-88.6	-38	-0.04	-0.02	Soddisfatta
-671.4	1185.1	- 2099.2	-79.4	-49	-0.04	-0.02	Soddisfatta
-681	561.5	-2129	-72.3	-57.9	-0.04	-0.03	Soddisfatta
-690.5	151.5	- 2158.8	-68	-64.1	-0.03	-0.03	Soddisfatta

-700	0	-2188.6	-66.9	-66.9	-0.03	-0.03	Soddisfatta
------	---	---------	-------	-------	-------	-------	-------------

Step 2

In questo Step si hanno i seguenti valori di tensione:

Acciaio (daN/cm²):
Max:-3550.



Tensioni - Paratia PAR_1 - Porzione 1 (acciaio:3550)							
Progressiva	M [daN cm]	N [daN]	σ max [daN/cm ²]	σ max2 [daN/cm ²]	ϵ max [%]	ϵ max2 [%]	Verifica
-8.3	-111.4	-33.2	-2.4	0.4	0	0	Soddisfatta

-16.7	-457.8	-66.4	-7.9	3.8	0	0	Soddisfatta
-25	-1055.7	-99.6	-16.6	10.5	-0.01	0.01	Soddisfatta
-33.3	-1921.5	-132.8	-28.7	20.6	-0.01	0.01	Soddisfatta
-41.7	-3071.4	-166	-44.4	34.3	-0.02	0.02	Soddisfatta
-50	-4521.9	-199.2	-64	51.8	-0.03	0.03	Soddisfatta
-59.5	-1659.6	-534.7	-37.6	4.9	-0.02	0	Soddisfatta
-69	764.3	-572.6	-27.3	-7.7	-0.01	0	Soddisfatta
-78.6	2725.6	-610.6	-53.6	16.2	-0.03	0.01	Soddisfatta
-88.1	4199.9	-648.5	-73.6	34	-0.04	0.02	Soddisfatta
-97.6	5163.1	-686.4	-87.1	45.1	-0.04	0.02	Soddisfatta
-107.1	5590.7	-724.4	-93.8	49.5	-0.05	0.02	Soddisfatta
-116.7	5458.7	-762.3	-93.2	46.6	-0.05	0.02	Soddisfatta
-126.2	4742.7	-800.2	-85.2	36.3	-0.04	0.02	Soddisfatta
-135.7	3418.8	-838.2	-69.4	18.2	-0.03	0.01	Soddisfatta
-145.2	1462.8	-876.1	-45.5	-8.1	-0.02	0	Soddisfatta
-154.8	-1149.4	-914.1	-42.7	-13.2	-0.02	-0.01	Soddisfatta
-164.3	-4441.8	-952	-86	27.8	-0.04	0.01	Soddisfatta
-173.8	-8438.3	-989.9	-138.4	77.8	-0.07	0.04	Soddisfatta
-183.3	-13162.9	- 1027.9	-200	137.2	-0.1	0.07	Soddisfatta
-192.9	-18639.6	- 1065.8	-271.4	206.2	-0.13	0.1	Soddisfatta
-202.4	-24892.1	- 1103.7	-352.6	285.1	-0.17	0.14	Soddisfatta
-211.9	-31944.4	- 1141.7	-444.1	374.3	-0.22	0.18	Soddisfatta
-221.4	-39820.3	- 1179.6	-546.2	474	-0.27	0.23	Soddisfatta
-231	-48543.6	- 1217.6	-659.1	584.6	-0.32	0.28	Soddisfatta
-240.5	-58138.1	- 1255.5	-783.1	706.3	-0.38	0.34	Soddisfatta
-250	-68627.6	-	-918.6	839.5	-0.45	0.41	Soddisfatta

		1293.4					
-258.3	-78559	-1326.6	-1046.9	965.7	-0.51	0.47	Soddisfatta
-266.7	-89209.6	-1359.8	-1184.3	1101.1	-0.57	0.53	Soddisfatta
-275	-100595.5	-1393	-1331.2	1246	-0.65	0.6	Soddisfatta
-283.3	-112732.5	-1426.2	-1487.7	1400.4	-0.72	0.68	Soddisfatta
-291.7	-125636.5	-1459.4	-1654	1564.7	-0.8	0.76	Soddisfatta
-300	-139323.3	-1492.6	-1830.3	1739	-0.89	0.84	Soddisfatta
-309.5	-155929.9	-1530.5	-2044.2	1950.6	-0.99	0.95	Soddisfatta
-319	-173114.3	-1568.5	-2265.5	2169.5	-1.1	1.05	Soddisfatta
-328.6	-190410.8	-1606.4	-2488.2	2389.9	-1.21	1.16	Soddisfatta
-338.1	-207354	-1644.3	-2706.4	2605.8	-1.31	1.26	Soddisfatta
-347.6	-223478.3	-1682.3	-2914.1	2811.2	-1.41	1.36	Soddisfatta
-357.1	-238318.1	-1720.2	-3105.3	3000.1	-1.51	1.46	Soddisfatta
-366.7	-251407.9	-1758.2	-3274.2	3166.6	-1.59	1.54	Soddisfatta
-376.2	-262282.2	-1796.1	-3414.6	3304.8	-1.66	1.6	Soddisfatta
-385.7	-270475.4	-1834	-3520.7	3408.6	-1.71	1.65	Soddisfatta
-395.2	-275521.9	-1872	-3550	3472.1	-1.74	1.69	NON Soddisfatta
-404.8	-276956.4	-1909.9	-3550	3489.3	-1.75	1.69	NON Soddisfatta
-414.3	-274313.2	-1947.8	-3550	3454.2	-1.73	1.68	NON Soddisfatta
-423.8	-267126.9	-1985.8	-3482.5	3361	-1.69	1.63	Soddisfatta

-433.3	-254931.9	- 2023.7	-3327.4	3203.6	-1.62	1.56	Soddisfatta
-442.9	-238767.4	- 2061.7	-3121.5	2995.4	-1.52	1.45	Soddisfatta
-452.4	-219776.3	- 2099.6	-2879.4	2751	-1.4	1.34	Soddisfatta
-461.9	-198910.9	- 2137.5	-2613.3	2482.6	-1.27	1.21	Soddisfatta
-471.4	-176947.9	- 2175.5	-2333.2	2200.1	-1.13	1.07	Soddisfatta
-481	-154505.2	- 2213.4	-2046.8	1911.4	-0.99	0.93	Soddisfatta
-490.5	-132239.8	- 2251.3	-1762.8	1625.1	-0.86	0.79	Soddisfatta
-500	-110891.4	- 2289.3	-1490.5	1350.4	-0.72	0.66	Soddisfatta
-509.5	-90987.5	- 2327.2	-1236.7	1094.3	-0.6	0.53	Soddisfatta
-519	-72878.3	- 2365.2	-1005.9	861.2	-0.49	0.42	Soddisfatta
-528.6	-56767.7	- 2403.1	-800.7	653.7	-0.39	0.32	Soddisfatta
-538.1	-42742.7	-2441	-622.2	472.8	-0.3	0.23	Soddisfatta
-547.6	-30798.6	-2479	-470.3	318.7	-0.23	0.15	Soddisfatta
-557.1	-20862.3	- 2516.9	-344.2	190.3	-0.17	0.09	Soddisfatta
-566.7	-12810.5	- 2554.8	-242.2	86	-0.12	0.04	Soddisfatta
-576.2	-6486.4	- 2592.8	-162.4	3.8	-0.08	0	Soddisfatta
-585.7	-1712	- 2630.7	-102.4	-58.5	-0.05	-0.03	Soddisfatta
-595.2	1701.2	- 2668.7	-103.4	-59.8	-0.05	-0.03	Soddisfatta
-604.8	3944.9	- 2706.6	-133.3	-32.3	-0.06	-0.02	Soddisfatta
-614.3	5208.4	-	-150.7	-17.2	-0.07	-0.01	Soddisfatta

		2744.5					
-623.8	5674.8	- 2782.5	-157.8	-12.4	-0.08	-0.01	Soddisfatta
-633.3	5519	- 2820.4	-157	-15.6	-0.08	-0.01	Soddisfatta
-642.9	4907	- 2858.3	-150.3	-24.6	-0.07	-0.01	Soddisfatta
-652.4	3996.2	- 2896.3	-139.8	-37.4	-0.07	-0.02	Soddisfatta
-661.9	2935.9	- 2934.2	-127.4	-52.1	-0.06	-0.03	Soddisfatta
-671.4	1869.2	- 2972.2	-114.9	-67	-0.06	-0.03	Soddisfatta
-681	934.5	- 3010.1	-104	-80.1	-0.05	-0.04	Soddisfatta
-690.5	266.8	-3048	-96.6	-89.8	-0.05	-0.04	Soddisfatta
-700	0	-3086	-94.4	-94.4	-0.05	-0.05	Soddisfatta

Tensioni - TIR_1_1 (tirante:16700)		
Progressiva	Tensioni	Verifica
56.7	475.5	Soddisfatta
113.3	475.5	Soddisfatta
170	475.5	Soddisfatta
226.7	475.5	Soddisfatta
283.3	475.5	Soddisfatta
340	475.5	Soddisfatta
396.7	475.5	Soddisfatta
453.3	475.5	Soddisfatta
510	475.5	Soddisfatta

Storia di carico dei tiranti

Segue la tabella del tiro massimo in ogni step per i tiranti definiti.

TIR_1_1 (46402[daN])

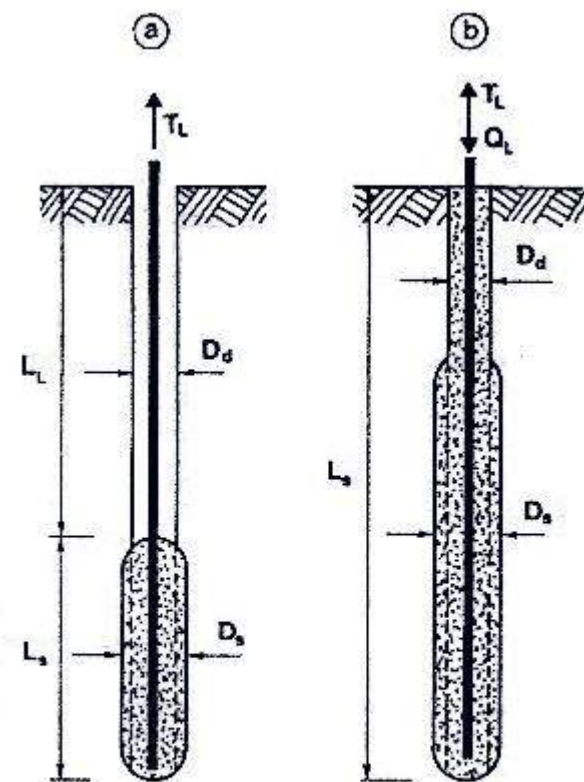
Step 1	-
Step 2	4168

Verifica dell'ancoraggio dei tiranti

La verifica della lunghezza del bulbo di ancoraggio viene eseguita secondo il metodo proposto e discusso da Bustamante e Doix (1985), per il quale si adotta l'espressione:

$$T_L = \pi D_s L_s q_s$$

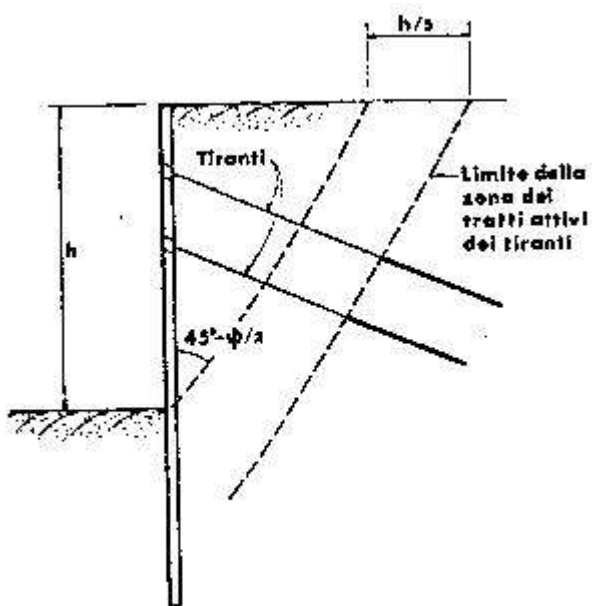
dove T_L è la trazione limite del tirante o del micropalo isolato, D_s è il diametro medio del bulbo della sigillatura, L_s è la lunghezza del tratto sigillato, e q_s è l'attrito laterale unitario limite lungo la superficie laterale del bulbo.



**Fig 35 Rappresentazione schematica
di un tirante (a) e di un micropalo (b)**

Il valore del diametro del bulbo di ancoraggio D_s viene valutato in funzione del diametro di perforazione D_d e della natura del terreno, con la relazione $D_s = \alpha D_d$, in cui il coefficiente di maggiorazione dipende dal metodo di iniezione (IRS o IGU) oltre che dalla natura del terreno, e viene quantificato per mezzo di apposite tabelle. Le stesse forniscono anche il quantitativo minimo di malta V_i che è consigliato immettere nel tratto L_s . Il valore di q_s dipende dal metodo di iniezione (IRS o IGU) e dalla natura del terreno, e viene quantificato con appositi abaci. La verifica viene effettuata considerando un fattore di sicurezza η che dipende dalla tipologia strutturale (tirante o micropalo) e dalla durata di utilizzo (provvisorio o permanente).

La lunghezza libera di un tirante deve essere sufficiente per garantire che il volume di suolo raccolto nell'intorno dell'elemento e ad esso strettamente associato nel tratto della sigillatura non corra alcun rischio di rottura d'insieme.



In quest'ottica si valuterà che tale lunghezza sia sufficiente a portare le fondazioni oltre il cuneo di spinta, con un ulteriore franco di sicurezza pari ad un terzo dell'altezza di scavo.

Segue la descrizione dei dati relativi all'ancoraggio.

	SVA_1
Suolo	Sabbia media
Iniezione	IGU
Tipologia	Tirante
Durata	Permanente
η	2
D_d [cm]	14
α	1.2
N_{SPT}	18
usa l_{eff}	no
φl_{lib}	33
sisma l_{lib}	no

Segue la verifica della lunghezza sigillata e della lunghezza libera per i tiranti definiti.

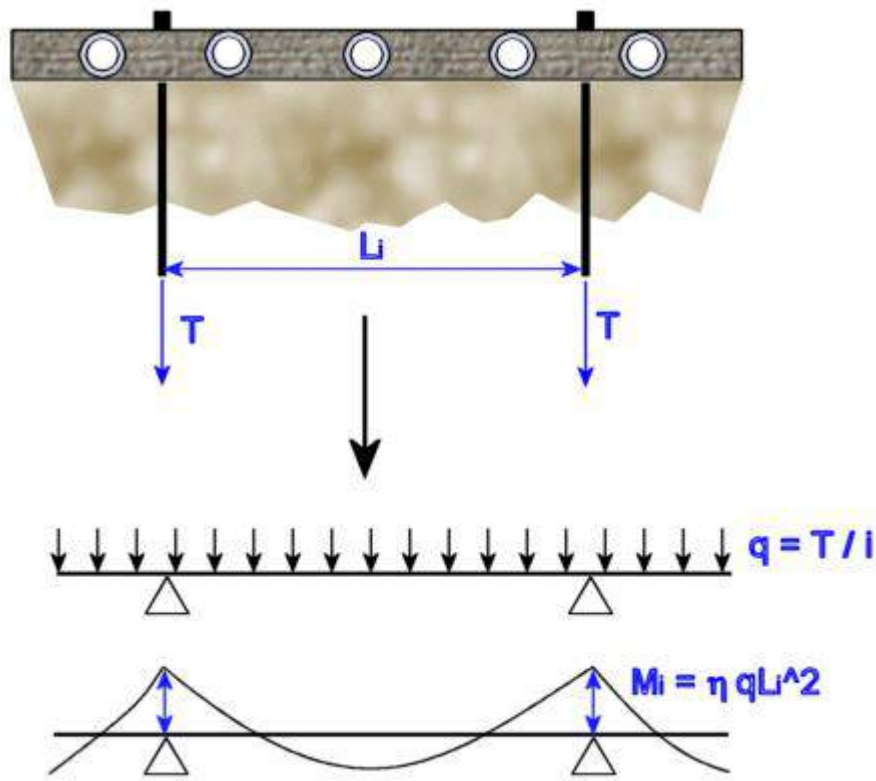
TIR_1_1

Tiro max. [daN]	4167.9
Step	STEP_2
Dati	SVA_1
D _s	16.8
q _s [daN/cm ²]	0.715
V _{i,min} [cm ³]	36739
L _{sig} [cm]	700
L _{sig,min} [cm]	238.7
η _{eff}	6.3
L _{sig} >L _{sig,min} ?	Si

TIR_1_1	
Dati	SVA_1
L _{lib} [cm]	300
L _{lib,min} [cm] (STEP_2)	-62.4
L _{lib} >L _{lib,min} ? (STEP_2)	Si

Verifica delle travi di collegamento

La verifica delle travi di collegamento fra i tiranti viene eseguita con il modello di trave continua sollecitata da un carico uniformemente distribuito. Gli appoggi intermedi sono posti ad una distanza pari all'interasse fra i tiranti, e l'entità del carico distribuito viene valutata come rapporto fra il tiro massimo e tale distanza. Si utilizza per la verifica la sola componente orizzontale del tiro, mentre quella verticale si assume sia sopportata dalla paratia.



Il valore del momento di verifica viene valutato con la formula $M_i = \eta \cdot q \cdot L_i^2$, in cui η assume il valore di 1/12.

Segue la verifica per i tiranti definiti.

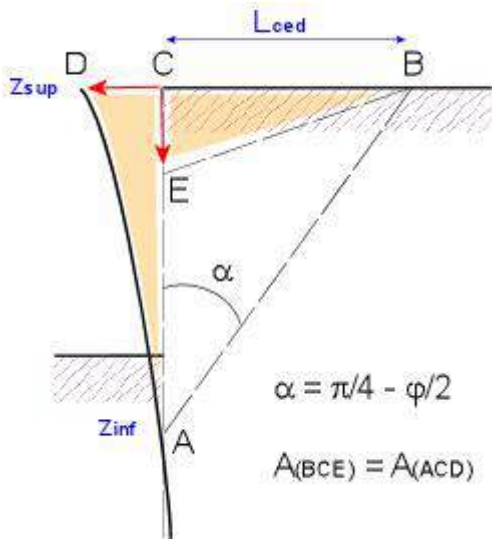
	TIR_1_1
Sezione	SEZ_1
N° sez. accoppiate	2.22
Tiro max. [daN]	3609.5
Step	STEP_2
Interasse L_i [cm]	315.5
Carico distribuito q [daN/cm]	11.4
Momento M_i [daN cm]	94886.52
Tens. max. [daN/cm ²]	-547.5
Defo. max. [%]	-0.27
Verifica	Si

Calcolo dei cedimenti a monte della paratia

Metodo *Volume* per il calcolo dei cedimenti a monte della paratia.

Si ipotizza che la variazione di volume complessiva del terreno coinvolto nel processo deformativo sia nulla (deformandosi, i terreni tendono a dilatare). In questo caso, definito il cuneo di spinta, si ha uguaglianza tra

il volume che il terreno occupa in seguito allo spostamento della paratia e quello che il terreno libera per i sedimenti verticali a monte dell'opera.



Segue il calcolo per tutti gli Step (Da Step 1 a Step 2).

Paratia PAR_1 Step 1		
$z_{sup} = 0[\text{cm}]$ $z_{inf} = -471.4[\text{cm}]$ $L_{ced} = 272.2[\text{cm}]$		
Distanza [cm]	Coord. x [cm]	Cedim. dz [cm]
0	0	2.15
50	50	1.75
100	100	1.36
150	150	0.96
200	200	0.57
250	250	0.18
272.2	272.2	0

Paratia PAR_1 Step 2		
$z_{sup} = 0[\text{cm}]$ $z_{inf} = -509.5[\text{cm}]$ $L_{ced} = 294.2[\text{cm}]$		
Distanza [cm]	Coord. x [cm]	Cedim. dz [cm]
0	0	3.01
50	50	2.5
100	100	1.99
150	150	1.48
200	200	0.96

250	250	0.45
294.2	294.2	0